

مسیریابی دوره‌بی شناورهای خدماتی با پنجره‌ی زمانی در صنعت نفت دریایی

روح‌الله ایقانی بزدایی (دانشجوی دکتری)
عبدالحکم اشرف‌نیای جووی* (استاد)
دانشکده مهندسی صنایع، دانشگاه صنعتی شریف

مهمنگی صنایع و مدیریت شرکت، (زمینه ۱۳۹۸) دری ۱۰، شماره ۲/۲، ص. ۵۱-۵۴

به منظور نگهداشت تولید نفت در مناطق دریایی، شرکت ملی نفت ایران با به‌کارگیری شناورهای پشتیبان و شناورهای سرچاهی متحرک، به صورت دوره‌بی خدمات عمومی و خدمات چاه‌ها را به تجهیزات مستقر در سکوهای سرچاهی نفت ارائه می‌کند. اما در این میان، شناورهای سرچاهی متحرک، خود نیازمند دریافت خدمات از شناورهای پشتیبان در دوره‌های مختلف و پنجره‌های زمانی معین هستند. شناورها در مقایسه با نیاز خدماتی تعداد کمی دارند؛ اما دارای هزینه‌ی جابه‌جایی بالایی هستند. به منظور مسیریابی دوره‌بی شناورهای خدماتی، یک مدل برنامه‌ریزی عدد صحیح مختصات با هدف کمینه‌سازی هزینه‌های جابه‌جایی و کمبود خدمات معرفی شده است. همچنین یک الگوریتم ابتکاری برای حل مسئله معرفی شده و عملکرد آن با اعمال روی داده‌های واقعی ارزیابی شده است. نتایج عددی حاکی از سرعت عمل الگوریتم در دست‌یابی به جواب‌های مناسب در زمان بسیار کم در مقایسه با الگوریتم‌های موجود است.

واژگان کلیدی: مسیریابی دوره‌بی، شناورهای خدماتی، سکوهای سرچاهی نفت، پنجره‌ی زمانی، مدل برنامه‌ریزی عدد صحیح مختصات، الگوریتم ابتکاری.

۱. مقدمه

یکی از عامل‌های اصلی تولید باثبات چاه‌های نفتی دریایی در شرکت ملی نفت ایران، اجرای برخی برنامه‌های منظم در زمینه‌ی خدمات عمومی و خدمات چاه‌ها برای تجهیزات نصب شده در سکوهای سرچاهی نفت است. گریس‌کاری و روان‌کاری و تنظیم شیرهای و اتصالات سرچاهی، ثبت فشار و حرارت سرچاهی و نمونه‌گیری از نفت سرچاه مثال‌هایی از خدمات عمومی‌اند. پیپارچی حلال درون چاهی برای رفع موانع آسفالتی، نمودارگیری و ماسه‌شویی چاه‌ها مثال‌هایی از خدمات چاه‌ها هستند. شرکت ملی نفت ایران در مناطق دریایی خود، این برنامه‌ها را با به‌کارگیری دو نوع شناور خدماتی شامل شناورهای پشتیبان و شناورهای سرچاهی متحرک عملیاتی می‌کند. اما در این میان، خود شناورهای سرچاهی متحرک نیازمند دریافت خدماتی نظر پیش‌بازاری اسیدکاری، تأمین گازوئیل، آب، مواد شیمیایی و ادوات جانبی عملیاتی نظر پیش‌بازاری اسیدکاری، نیتروزن و کلیه‌ی متعلقات مربوط از سوی شناورهای پشتیبان در دوره‌های مشخص و پنجره‌های زمانی معینی هستند. در واقع شناورهای سرچاهی متحرک دارای دو نقش مقاولات اند. از یک طرف آنها نقش تأمین‌کننده‌ی خدمات چاه‌ها برای سکوهای سرچاهی نقی دریافت دارند و از طرف دیگر نقش دریافت‌کننده‌ی خدمات عمومی از سوی شناورهای پشتیبان دارند. شکل ۱ طرح‌واره‌ی دو نقش مقاولات یک شناور سرچاهی متحرک (که با رنگ قرمز نشان داده است) را که در حال ارائه‌ی خدمت چاه‌ها

* نویسنده مسئول

تاریخ: دریافت ۲۲/۵/۱۳۹۷، اصلاحیه ۲/۱۱، پذیرش ۱۳۹۷/۱۱/۲۱

مسافر بین سکوهای نفتی و پایانه‌های مسافری خشکی،^[۲۶-۲۳] برنامه‌ریزی تأمین سوخت گازوئیل برای دکلهای حفاری و سکوهای نفتی از طریق رفت‌وآمد قایقهای سوخت‌رسان بین سکوهای نفتی و دکلهای حفاری و مخازن سوخت شناور مستقر در دریا،^[۲۷] مسیریابی و زمان‌بندی عملیات نگهداری و تعمیرات توربین‌های مستقر در سکوهای دریایی توسط شناورهای فنی مجهز به گروه کارورزان،^[۲۸] مسئله‌ی مسیریابی خدمت‌دهنده‌های سرچاهی سیار و شناورهای پشتیبان به منظور ارائه خدمات فنی و پشتیبان به سکوهای سرچاهی مستقر در خلیج فارس.^[۲۹]

این مسئله با توجه به در نظر گرفتن مؤلفه‌ی پنجره‌ی زمانی در کنار مؤلفه‌های ارتباطی بین شناورهای پشتیبان و شناورهای سرچاهی متحرک و سایر محدودیت‌های زمان‌بندی، دارای جنبه‌های پیچیده‌تری نسبت به مسئله‌ی PVRPTW است. به همین دلیل، در این مقاله یک مدل ریاضی جدید و همچنین یک الگوریتم ابتکاری بر مبنای مشخصه‌های عملیاتی، ارائه شده است. تا آن‌جا که ما مطلع هستیم، مسئله‌ی مدنظر این مقاله تاکنون مطالعه و بررسی قرار نگرفته و در نتیجه هیچ مدل ریاضی برای آن تاکنون ارائه نشده است. همچنین الگوریتم ابتکاری پیشنهادی نیز کاملاً جدید است.



شکل ۱. شناور سرچاهی متحرک در حال دریافت خدمت از شناور پشتیبانی و ارائه خدمات به سکوی سرچاهی.

۲. تشریح مسئله

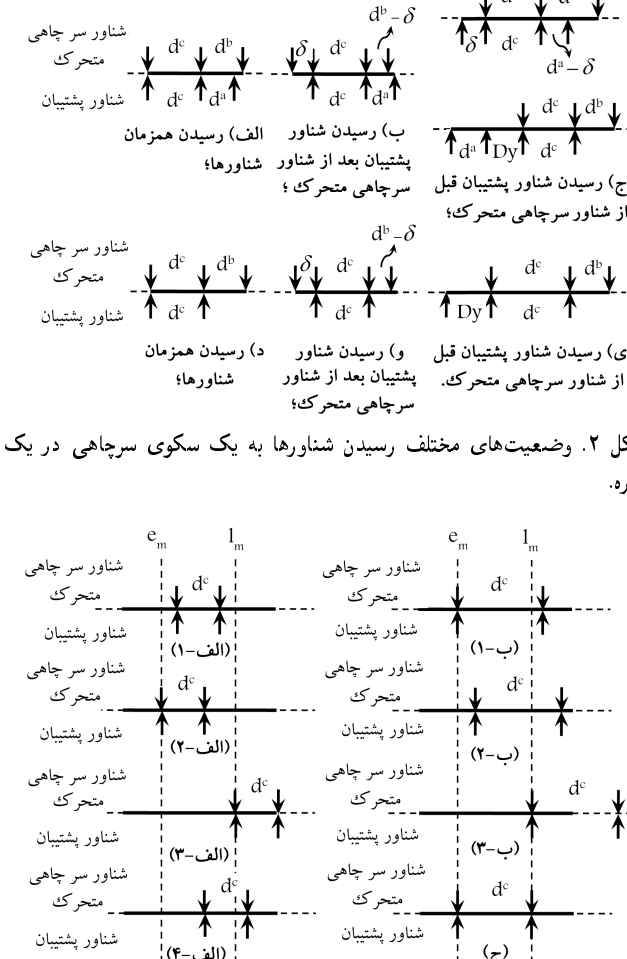
مجموعه‌ی از سکوهای سرچاهی (W) نیازمند نوع خدمت هستند. این خدمت‌ها عبارت‌اند از خدمات عمومی و خدمات چاهه‌که به ترتیب توسط دو مجموعه شناورهای پشتیبان (A) و شناورهای سرچاهی متحرک (B) ارائه می‌شوند؛ به‌طوری‌که همواره رابطه‌ی $|A| \leq |B|$ برقرار است. دلیل این رابطه ناشی از این است که وقف الزامات فنی و مهندسی اعلام شده توسط واحدهای فنی بالادستی، در تمام افق‌های برنامه‌ریزی، همواره نیازمند سکوهای سرچاهی به خدمات عمومی نسبت به خدمات چاهه‌ها از کمیت به مراتب پیشتری برخوردار بوده و هزینه‌های سرمایه‌ی شناورهای سرچاهی متحرک از شناورهای پشتیبان بیشتر است و به همین نسبت شرکت ملی نفت ایران تعداد شناورهای سرچاهی متحرک کمتری را نسبت به تعداد شناورهای پشتیبان در مالکیت خود دارد. اعضای هر مجموعه مانند یکدیگر هستند. هیچ شناور پشتیبانی نمی‌تواند کار یک شناور سرچاهی متحرک را انجام دهد و برعکس.

در این مسئله مجموعه دوره‌ها در افق برنامه‌ریزی چند دوره‌ی با سقف زمانی D برای هر دوره است؛ به‌طوری‌که در این افق، هر یک از سکوهای سرچاهی نیازمند دریافت خدمات عمومی (a) و سرچاهی (b) با مقدار بسامد F_i^H و مجموعه‌ی ترکیبات مجاز دریافت خدمت Q_i^H هستند که ($H \in \{a, b\}$, $i \in W$) است و همچنین شناورهای سرچاهی متحرک نیازمند دریافت خدمات عمومی (c) با مقدار بسامد F_m^c و مجموعه‌ی ترکیبات مجاز دریافت خدمت Q_m^c در پنجره‌ی زمانی $[e_m, l_m]$ هستند که ($m \in B$) و همگی در ابتدای هر دوره برنامه‌ریزی توسط واحدهای فنی بالادستی مشخص می‌شوند. برای مثال یک مسئله با افق برنامه‌ریزی ۵ دوره‌ی را در نظر بگیرید که در آن برای سکوی سرچاهی شماره ۱ برنامه‌ریزی مقادیر بسامد خدمت برابر با $3 = F_1^a = F_1^b = 2$ و $\{2; 3; 5\} = \{Q_1^a; Q_1^b\} = \{(1; 2; 4), (2; 3; 5)\}$ است. اگر عضو اول مجموعه یعنی (۱؛ ۲؛ ۴)، (۲؛ ۳؛ ۵) انتخاب شود، این سکو باید در دوره‌های ۱، ۲ و ۴ خدمت a را از شناور پشتیبان دریافت کند. اما اگر عضو دوم انتخاب شود، لازم است در دوره‌های ۲، ۳ و ۵ خدمت مورد نیاز را دریافت نماید.

با پنجره‌ی زمانی (PVRPTW) پیدا می‌کند. مسئله‌ی PVRPTW یک مسئله‌ی عمومیت داده شده از مسئله‌ی کلاسیک مسیریابی و سیله‌ی حمل و نقل (VRP) است و هدف از آن تعیین مسیرهایی با نقاط شروع و پایان در یک ایستگاه مرکزی برای یک ناوگان وسایل حمل و نقل در خلال دوره‌های مختلف برنامه‌ریزی است؛ به‌گونه‌یکی که مشتریان دریافت خدمات در پنجره‌ی زمانی معینی پذیرای این ناوگان باشند. در مسئله‌ی ما این مشتریان، همان شناورهای سرچاهی متحرک هستند با این تفاوت که در برخی از دوره‌های مسئله، آنها دو نقش دارند. در یک نقش، آنها یک تأمین‌کننده هستند و خدمات چاهه‌ها را به سکوهای سرچاهی ارائه می‌کنند و در نقش دیگر، آنها یک مشتری هستند و در پنجره‌ی زمانی مشخصی، دریافت‌کننده‌ی خدمات از شناورهای پشتیبان در محل یکی از سکوهای سرچاهی (که محل ثابتی نیست) می‌باشند.

سیر تکامل پیشینه‌ی موضوع در ارتباط با مدل‌های ریاضی و روش‌های حل معروف شده برای مسئله‌ی PVRPTW نشان می‌دهد که هدف بسیاری از آنها تاکنون (که البته هدف این مقاله نیز هست)، مدل‌سازی مسائل موجود در دنیا واقعی است.^[۱] توجهی از این مسائل در حوزه‌ی خدمات شهری و روسانی، مسائلی نظیر جمع‌آوری مواد بازیافتی و زباله‌های درون‌شهری،^[۲-۴] جمع‌آوری شیر از مزارع و کشاورزان،^[۵-۶] توزیع خون بین بیمارستان‌ها،^[۷] توزیع نامه‌ها و بسته‌های پستی،^[۸-۹] پشتیبانی و نگهداری ماشین‌های خودکار ارائه‌دهنده‌ی نوشیدنی، سیگار و ... در سطح شهر،^[۱۰-۱۱] تخصیص و مسیریابی مریان کمک‌آموزشی برای کودکان ناقان در مدل‌سازی برنامه‌ی زمان‌بندی قطارهای شهری با توجه به رفت‌وآمد قطارها و پنجره‌های زمانی،^[۱۲] مسیریابی کارورزهای ماهر برای نگهداری و تعمیرات پله‌های برقی و آسان بر در سطح شهر،^[۱۳] توزیع فراورده‌های نفتی بین ایستگاه‌های پخش،^[۱۴] حمل و توزیع پول در سطح شهر،^[۱۵] تأمین اضطراری اقلام حیاتی پس از وقوع بحران^[۱۶-۱۷] هستند.

در حوزه‌ی صنعت نفت فراساحلی که مدنظر این مقاله نیز هست، موضوعات محدودی مورد بررسی و مدل‌سازی قرار گرفته‌اند؛ نظیر مسیریابی شناورهای حمل‌کننده‌ی کالاهای اجتناس با شرایط تحويل و دریافت به سکوهای عملیاتی نفتی مستقر در دریا،^[۱۸-۲۰] مسیریابی بالگردان برای ارائه خدمات حمل و نقل



شکل ۲. وضعیت‌های مختلف رسیدن شناورها به یک سکوی سرچاهی در یک دوره.

به همین ترتیب سکوی سرچاهی شماره ۱ به منظور دریافت خدمت b به میزان دو مرتبه در افق برنامه‌ریزی ۵ دوره‌بی دارای چهار انتخاب در مجموعه Q^b_1 است. اگر عضو اول مجموعه یعنی (۳؛ ۱) انتخاب شود، باید این سکو در دوره‌های ۱ و ۳ خدمت b را از شناور سرچاهی متحرک دریافت کند؛ اما اگر عضو سوم یعنی (۵؛ ۲) انتخاب شود، آنگاه در دوره‌های ۲ و ۵ خدمت مورد نیاز را دریافت می‌کند. این مثال b را از شناورهای سرچاهی متحرک نیز به همین صورت است. تعداد شناورها در ابتدای مسئله مشخص است و این تعداد در مقایسه با میزان نیازمندی به خدمت، بسیار کمتر است و بنابراین همواره مقداری کمبود در هر واحد ممکن است. برای سه نوع خدمت اتفاق می‌افتد که برای هر واحد کمبود خدمت، هزینه‌ی معادل با R^H در نظر گرفته شده است به طوری که $(a, b, c) \in H$.

مسئله دارای یک ایستگاه مرکزی به عنوان نقطه‌ی شروع و پایان تورهای شناورهای است که در این مقاله با نماد \circ نشان داده می‌شود. اگر در خلال یک دوره، هر یک از آنها اعم از پشتیبان و سرچاهی متحرک، ایستگاه مرکزی را ترک کنند، باید در خلال همان دوره به ایستگاه مرکزی بازگردند. مدت زمان مورد نیاز برای ارائه خدمات a, b, c ، به ترتیب برابر با مقدار ثابت و معین d^a, d^b و d^c است و مستقل از سکوی سرچاهی و شناورهای است. همچنین مدت زمان سفر شناورهای پشتیبان و سرچاهی متحرک بین ایستگاه مرکزی و سکوهای سرچاهی را به ترتیب با t_{iz}, t_{iz}' و t_{ij}, t_{ij}' هزینه‌ی سفر آنها را به ترتیب با c_{iz} و c_{ij} نشان می‌دهیم که $(i, j) \in W \cup \{o\}$.

به دلیل هزینه‌های گراف به کارگری شناورهای سرچاهی متحرک، انتظار آنها در محل سکوهای سرچاهی به منظور دریافت خدمت c از شناور پشتیبان مجاز نیست، اما شناور پشتیبان حداکثر به میزان Dy می‌تواند برای ارائه خدمت مذکور به شناور سرچاهی متحرک متوجه شود. ضمناً شناور پشتیبان نمی‌تواند هم‌زمان خدمات a و c را ارائه دهد. شناور سرچاهی متحرک نیز نمی‌تواند خدمت c را هم‌زمان با ارائه خدمت b به سکوی سرچاهی، از شناور پشتیبان دریافت کند.

همان‌طور که قبلاً اشاره شد، شناورهای سرچاهی متحرک علاوه‌بر نقش تأمین‌کننده‌ی خدمات چاهه‌ها برای سکوهای سرچاهی، همانند سکوها در نقش دریافت‌کننده‌ی خدمات c از شناورهای پشتیبان نیز هستند، با این تفاوت که مثل آنها دارای مکان ثابتی نیستند. به همین دلیل زمانی که یک شناور سرچاهی متحرک برای ارائه خدمات چاهه‌ها به یکی از سکوهای سرچاهی مراجعه می‌کند، آنگاه می‌تواند در صورت نیاز و در پنجره‌ی زمانی معین شده، خدمات لازم را در محل آن سکو از یکی از شناورهای پشتیبان دریافت کند. در مجموع در محل یک سکوی سرچاهی در یک دوره‌ی برنامه‌ریزی، امکان رخداد شش حالت مختلف وجود دارد: حالت اول، ارائه خدمت b به سکو توسط یک شناور سرچاهی متحرک و همچنین ارائه خدمات a و c به ترتیب به سکو و همان شناور سرچاهی متحرک توسط یک شناور پشتیبان؛ حالت دوم، ارائه خدمت b به سکو توسط یک شناور سرچاهی متحرک و همچنین ارائه خدمت c به همان شناور سرچاهی متحرک توسط یک شناور پشتیبان؛ حالت سوم، ارائه خدمات a و c به سکو به ترتیب توسط یک شناور سرچاهی متحرک و یک شناور سرچاهی متحرک؛ حالت چهارم، ارائه خدمت a به سکو توسط یک شناور پشتیبان؛ حالت پنجم، ارائه خدمت b به سکو توسط یک شناور سرچاهی متحرک؛ و نهایتاً حالت ششم، عدم مراجعه هیچ شناوری اعم از پشتیبان و سرچاهی متحرک به سکو. شکل ۲ وضعیت‌های مختلفی از لحظه‌ی رسیدن شناورها به یک سکوی سرچاهی را در یک دوره نشان می‌دهد.

وضعیت‌های (الف)، (ب) و (ج) به حالت اول و (د)، (و) و (ای) به حالت دوم مربوط می‌شوند. برای مثال در وضعیت (الف) شناورها به طور هم‌زمان به سکوی رسیدن؛ به طوری که ابتدا شناور پشتیبان خدمت c را به شناور سرچاهی متحرک ارائه

شکل ۳. تمام وضعیت‌های موجه در مقایسه‌ی بین مدت زمان خدمت c و پنجره‌ی زمانی.

می‌دهد و پس از سپری شدن زمان d^c ، شناورها به طور مستقل به ارائه خدمات a و b به سکو به ترتیب به میزان d^a و d^b می‌پردازند و نهایتاً سکو را به مقاصد بعدی ترک می‌کنند. همان‌گونه که در شکل ۲ می‌بینیم، سکوی سرچاهی بی‌نیاز از دریافت خدمت a در وضعیت‌های (د)، (و) و (ای) است؛ زیرا در این وضعیت‌ها، هدف از حضور شناور پشتیبان در سکو صرفاً ارائه خدمت c به شناور سرچاهی متحرک است. در وضعیت‌های (ب)، (ج) و (او)، زمانی که شناور دوم به سکو مراجعه می‌کند، شناور اول، فرایند ارائه خدمت خود را متوقف می‌کند و فرایند خدمت c آغاز می‌شود و پس از سپری شدن زمان d^c ، باقی مانده‌ی فرایند متوقف شده ارائه خدمت خود را ادامه می‌دهد. همان‌طور که در وضعیت‌های (ج) و (ای) نشان داده شده است، شناور پشتیبان به منظور ارائه خدمت c به شناور سرچاهی متحرک، به میزان حداکثر Dy در محل سکوی سرچاهی متنظر می‌ماند.

[e_m, l_m] نمایان‌گر پنجره‌ی زمانی از نوع سخت است؛ بدین معنا که در یک دوره‌ی زمانی مشخص، یک شناور پشتیبان مجاز نخواهد بود که قبل از e_m یا بعد از l_m در محل یک سکوی سرچاهی خدمت c را به شناور سرچاهی متحرک به طوری که ($m \in B$) ارائه کند. همان‌طور که پیشتر بدان اشاره شد، این خدمت رسانی مستناظر با رخداد یکی از حالات اول و دوم از شش حالت ممکن است. از زاویه‌ی مقایسه بین مدت زمان خدمت c و پنجره‌ی زمانی مذکور، شکل ۳ نشان‌دهنده‌ی

سرچاهی ($j \in W \cup \{o\}, i \neq j$):
 c_{ij} : هزینه‌ی سفر شناورهای پشتیبان بین ایستگاه مرکزی و سکوهای سرچاهی
 $c_{ij}':$ هزینه‌ی سفر شناورهای سرچاهی متحرک بین ایستگاه مرکزی و سکوهای سرچاهی
 $c_{ij}'':$ هزینه‌ی سفر شناورهای پشتیبان برای انتظار به منظور رسیدن شناور سرچاهی
 Dy : حداقل زمان مجاز شناور پشتیبان برای انتظار به منظور رسیدن شناور سرچاهی
 متحرک به محل سکوی سرچاهی و دریافت خدمت از نوع c .

متغیرهای دودویی به همراه توضیحات به شرح زیرند:

x_{ikl}^a : اگر شناور پشتیبان k در دوره‌ی l , خدمت a را به سکوی سرچاهی i ارائه کند،
 برابر یک و در غیر این صورت برابر صفر خواهد بود ($i \in W, k \in A, l \in P$):

x_{ikml}^c : اگر شناور پشتیبان k در دوره‌ی l , در محل سکوی سرچاهی i خدمت c

را به شناور سرچاهی متحرک m ارائه کند، برابر یک و در غیر این صورت برابر صفر

خواهد بود ($i \in W, k \in A, m \in B, l \in P$):

x_{ijkl}^a : اگر شناور پشتیبان k در دوره‌ی l , از i به j برود، برابر یک و در غیر این صورت

برابر صفر خواهد بود ($i, j \in W \cup \{o\}, i \neq j, k \in A, l \in P$):

x_{ijkl}^b : اگر یک شناور سرچاهی متحرک در دوره‌ی l , از i به j برود و خدمت b را به

سکوهای سرچاهی مذکور ارائه کند، برابر یک و در غیر این صورت برابر صفر خواهد

بود ($i, j \in W \cup \{o\}, i \neq j, l \in P$):

Z_{iz}^H : اگر ترکیب خدمت r برای سکوی سرچاهی i برای ارائه خدمت H انتخاب

شود، برابر یک و در غیر این صورت برابر صفر خواهد بود ($H \in \{a, b\}, i \in W, l \leq r \leq |Q_m^H|$)

Z_{mr}^c : اگر ترکیب خدمت r برای شناور سرچاهی متحرک m برای ارائه خدمت c

انتخاب شود، برابر یک و در غیر این صورت برابر صفر خواهد بود ($m \in B, l \leq r \leq |Q_m^c|$)

همچنین متغیرهای پیوسته در این مدل عبارت‌اند از:

S_{jki} : زمان رسیدن شناور پشتیبان k در دوره‌ی l به j .
 $A, l \in P$:

S_{jkl}^i : زمان رسیدن یک شناور سرچاهی متحرک در دوره‌ی l به سکوی سرچاهی j .
 $A, l \in P$:

S_{iol}^i : زمان رسیدن یک شناور سرچاهی متحرک به ایستگاه مرکزی که از سکوی

سرچاهی i به سوی ایستگاه حرکت کرده است ($i \in W, l \in P$):

$Delay_{ikl}$: مدت زمان انتظار شناور پشتیبان k در محل سکوی سرچاهی i به منظور

ارائه خدمت c به یک شناور سرچاهی متحرک در دوره‌ی l .
 $A, l \in P$)

در این مسئله به دنبال کمینه کردن هزینه‌های جابه‌جایی شناورها و هزینه‌های کمبود

خدمات هستیم. بخش هزینه‌های جابه‌جایی شناورها بین سکوهای سرچاهی و ایستگاه

مرکزی مطابق رابطه‌ی ۱، هزینه‌های کمبود خدمات مطابق رابطه‌های ۲ و ۳ است:

$$Obj_1 = \sum_i \sum_j \sum_l \left(c_{ij}^a x_{ijl}^b + \sum_k c_{ij} x_{ijkl}^c \right) \quad (1)$$

$$Obj_2 = \sum_i \left(R^a (F_i^a - \sum_k \sum_l x_{ikl}^a) + R^b (F_i^b - \sum_j \sum_l x_{ijl}^b) \right) \quad (2)$$

$$Obj_3 = \sum_m R^c \left(F_m^c - \sum_i \sum_k \sum_l x_{ikml}^c \right) \quad (3)$$

وضعیت‌های موجه در محل یک سکوی سرچاهی در یک دوره‌ی مشخص است.
 اگر $d^c > l_m - e_m$, وضعیت‌های موجه که در جواب نهایی می‌تواند حاصل شود،
 عبارت‌انداز (الف-۱)، (الف-۲)، (الف-۳) و (الف-۴)، ولی اگر $d^c < l_m - e_m$ در نهایت اگر $d^c = l_m - e_m$, فقط وضعیت موجه (ج) است. در
 آنگاه وضعیت‌های موجه ممکن عبارت‌اند از (ب-۱)، (ب-۲)، (ب-۳) و در تمام وضعیت‌های موجه در شکل ۳، ارائه خدمت c به شناور سرچاهی
 متحرک توسط شناور پشتیبان، در پنجره‌ی زمانی تعیین شده آغاز می‌شود.

۳. مدل ریاضی

به منظور مدل سازی مسئله، مدل ریاضی مسئله PVRP در مقاله [۲] به عنوان
 مدل مبنی استفاده شده و سپس براساس مؤلفه‌های عملیاتی این مقاله تغییر و تکامل
 یافته و در نهایت یک مدل برنامه‌ریزی عدد صحیح مختلط (Mixed Integer Programming)
 ارائه شده است. پیش از بررسی تابع هدف و محدودیت‌های مدل، به معرفی پارامترها و متغیرهای تصمیم‌گیری مدل که شامل دو دسته متغیرهای
 دودویی و پیوسته‌اند، می‌پردازم.

پارامترها به همراه توضیحات به شرح زیرند:

W : مجموعه‌ی سکوهای سرچاهی؛

A : مجموعه‌ی شناورهای پشتیبان؛

B : مجموعه‌ی شناورهای سرچاهی متحرک؛

P : مجموعه‌ی دوره‌ها در افق برنامه‌ریزی؛

D : سقف زمانی دوره‌های برنامه‌ریزی؛

a : نماد خدمت عمومی برای ارائه به سکوی سرچاهی؛

b : نماد خدمت سرچاهی برای ارائه به سکوی سرچاهی؛

c : نماد خدمت عمومی برای ارائه به شناور سرچاهی متحرک؛

F_i^H : بسامد خدمت موردنیاز از نوع H برای سکوی سرچاهی i در افق برنامه‌ریزی

$(i \in W, H \in \{a, b\})$ ؛

Q_i^H : مجموعه‌ی ترکیبات مجاز دریافت خدمت از نوع H برای سکوی سرچاهی i در افق برنامه‌ریزی ($i \in W, H \in \{a, b\}$)؛

در افق برنامه‌ریزی ($i \in W, H \in \{a, b\}$)؛

F_m^c : بسامد خدمت موردنیاز از نوع c برای شناور سرچاهی متحرک m در افق

برنامه‌ریزی ($m \in B$)؛

Q_m^c : مجموعه‌ی ترکیبات مجاز دریافت خدمت از نوع c برای شناور سرچاهی m در افق برنامه‌ریزی ($m \in B$)؛

در افق برنامه‌ریزی ($m \in B$)؛

e_{lm} : پنجه‌ی زمانی دریافت خدمت از نوع c برای شناور سرچاهی متحرک در افق

برنامه‌ریزی ($m \in B$)؛

در افق برنامه‌ریزی ($m \in B$)؛

d^a : مدت زمان موردنیاز برای ارائه خدمت از نوع a ؛

d^b : مدت زمان موردنیاز برای ارائه خدمت از نوع b ؛

d^c : مدت زمان موردنیاز برای ارائه خدمت از نوع c ؛

t_{ij} : مدت زمان سفر شناورهای پشتیبان بین ایستگاه مرکزی و سکوهای سرچاهی

$(i, j \in W \cup \{o\}, i \neq j)$ ؛

t_{ij}^t : مدت زمان سفر شناورهای سرچاهی متحرک بین ایستگاه مرکزی و سکوهای

$(i, j \in W \cup \{o\}, i \neq j)$ ؛

دسته محدودیت‌های ۱۶ و ۱۷ شرایطی را فراهم می‌کنند که اگر در هر دوره، شناورها از ایستگاه مرکزی خارج شوند یا به یک سکوی سرچاهی مراجعه کنند، در همان دوره باید به ایستگاه مرکزی بازگردند یا سکو را ترک کنند.

$$\sum_j x_{ijl}^b = \sum_j x_{jil}^b \quad \forall i \in W \cup \{o\}, l \in P \quad (16)$$

$$\sum_j x_{ijkl} = \sum_j x_{jikl} \quad \forall i \in W \cup \{o\}, k \in A, l \in P \quad (17)$$

رعایت سقف زمانی برای زمان رسیدن شناورها در هر دوره به ایستگاه مرکزی در قالب دسته محدودیت‌های مندرج در رابطه‌های ۱۸ و ۱۹ بیان شده است. همچنین در ادامه رابطه‌های ۱۸ و ۲۰ اطمینان می‌دهند که زمان رسیدن شناورها به یک سکوی سرچاهی در هر دوره در صورت فال شدن متغیرهای دودوبه مربوطه، مقداری حداکثر برابر با سقف زمانی دوره‌های برنامه‌ریزی مستقله بگیرد و در غیر این صورت برابر با صفر شود. ضمناً اگر این شناورها در ابتدای یک دوره از ایستگاه مرکزی خارج نشوند، مقدار S_{ijkl}^c و S_{jil}^c به صورت اجباری برابر با صفر خواهند بود. در واقع در این محدودیت‌ها ارتباط منطقی بین متغیرهای زمان‌بندی و دودوبه مربوطه برقرار می‌شود.

$$S_{ijkl} \leq \sum_i D x_{ijkl} \quad \forall j \in W \cup \{o\}, k \in A, l \in P \quad (18)$$

$$S_{iol}' \leq \sum_j D x_{iol}^b \quad \forall i \in W, l \in P \quad (19)$$

$$S_{jil}' \leq \sum_i D x_{jil}^b \quad \forall j \in W, l \in P \quad (20)$$

رابطه‌های ۲۱ و ۲۲ دسته محدودیت‌های زمان‌بندی برای زمانی هستند که شناورها در یک دوره برای ارائه خدمات از ایستگاه مرکزی به محل یک سکوی سرچاهی عزیمت کرده‌اند. ضمناً در این رابطه‌ها و سایر رابطه‌های مشابه نماد M به معنای یک عدد بزرگ است.

$$S_{jkl} \geq t_{oj} - M(1 - x_{ojkl}) \quad \forall j \in W, k \in A, l \in P \quad (21)$$

$$S_{jl}' \geq t_{oj}' - M(1 - x_{ojl}^b) \quad \forall j \in W, l \in P \quad (22)$$

دسته محدودیت‌های زمان‌بندی مربوط به زمانی که شناورها در یک دوره پس از ارائه‌ی خدمات در یک سکوی سرچاهی برای بازگشت به ایستگاه مرکزی یا برای ارائه‌ی خدمات به یک سکوی سرچاهی دیگر می‌روند، در رابطه‌های ۲۳ تا ۲۵ آمده‌اند.

$$S_{jkl} \geq S_{ikl} + d^a x_{ikl}^a + d^c \left(\sum_m x_{ikml}^c \right) + t_{ij} + Delay_{ikl} - M(1 - x_{ijkl}) \quad \forall i \in W, j \in W \cup \{o\}, i \neq j, k \in A, l \in P \quad (23)$$

$$S_{jl}' \geq S_{il}' + d^b + d^c \left(\sum_k \sum_m x_{ikml}^c \right) + t_{il}' - M(1 - x_{ijl}^b) \quad \forall i, j \in W, i \neq j, l \in P \quad (24)$$

$$S_{iol}' \geq S_{il}' + d^b + d^c \left(\sum_k \sum_m x_{ikml}^c \right) + t_{io}' - M(1 - x_{iol}^b) \quad \forall i \in W, l \in P \quad (25)$$

بنابراین تابع هدف مدل برابر با کمینه‌سازی مجموع هزینه‌های مذکور مطابق عبارت ۴ بصورت زیر می‌باشد:

$$\text{Minimize } Obj = Obj_1 + Obj_2 + Obj_3 \quad (4)$$

حال به بررسی محدودیت‌های مدل ریاضی می‌پردازیم. دسته محدودیت‌های عبارت ۵ و ۶ تضمین می‌کنند تا از مجموعه‌های Q_i^a , Q_i^b و Q_m^c در جواب‌های موجه مدل، برای سکوهای سرچاهی یکی از ترکیب‌های مجاز دریافت خدمت a و یکی از ترکیب‌های خدمت b و برای شناورهای سرچاهی متحرک یکی از ترکیب‌های مجاز دریافت خدمت c انتخاب شوند؛

$$\sum_r Z_{ir}^H = 1 \quad \forall i \in W, H \in \{a, b\} \quad (5)$$

$$\sum_r Z_{mr}^c = 1 \quad \forall m \in B \quad (6)$$

رابطه‌های ۷، ۸ و ۹ بیان‌گر یک رابطه‌ی منطقی بین انتخاب ترکیب خدمات a , b و c و متغیرهای تصمیم مربوطه هستند. در ضمن این محدودیت‌ها اجازه نمی‌دهند که در یک دوره، سکوهای سرچاهی و شناورهای سرچاهی متحرک بیش از یک بار خدمات مذکور را دریافت کنند. در این عبارات e_{rl} برابر یک است اگر دوره‌ی l در ترکیب خدمت r وجود داشته باشد و در غیر این صورت برابر صفر است.

$$\sum_k x_{ikl}^a \leq \sum_r e_{rl} Z_{ir}^a \quad \forall i \in W, l \in P \quad (7)$$

$$\sum_j x_{ijl}^b \leq \sum_r e_{rl} Z_{ir}^b \quad \forall i \in W, l \in P \quad (8)$$

$$\sum_i \sum_k x_{ikml}^c \leq \sum_r e_{rl} Z_{mr}^c \quad \forall m \in B, l \in P \quad (9)$$

رابطه‌های ۱۰ تا ۱۳ بیان‌گر روابط منطقی بین متغیرهای تصمیم‌گیری مربوط به شناورها هستند.

$$x_{ikl}^a \leq x_{ijkl} \quad \forall i \in W, k \in A, l \in P \quad (10)$$

$$\sum_k \sum_m x_{ikml}^c \leq x_{ijl}^b \quad \forall i \in W, l \in P \quad (11)$$

$$\sum_m x_{ikml}^c \leq x_{ijkl} \quad \forall i \in W, k \in A, l \in P \quad (12)$$

$$\sum_j x_{ijkl} \leq x_{ikl}^a + \sum_m x_{ikml}^c \quad \forall i \in W, k \in A, l \in P \quad (13)$$

دسته محدودیت‌های اشاره شده در رابطه‌های ۱۴ و ۱۵ اطمینان می‌دهند که شناورها در هر دوره، برای خدمت‌رسانی جداکثر یک بار می‌توانند از ایستگاه مرکزی خارج شوند. همچنین عبارت ۱۴ اجازه می‌دهد که شناورهای پشتیبان در هر دوره جداکثر یک بار به یک سکوی سرچاهی مراجعه کنند.

$$\sum_j x_{ijkl} \leq 1 \quad \forall i \in W \cup \{o\}, k \in A, l \in P \quad (14)$$

$$\sum_j x_{iol}^b \leq |B| \quad \forall j \in W, l \in P \quad (15)$$

سرچاهی متوجه، $q_m^c \in Q_m^c$ معرف یکی از اعضای مجموعه ترکیبات مجاز دریافت خدمت c مربوط به شناور سرچاهی متوجه $i \in W$, m معرف یکی از سکوهای سرچاهی و $Q_i^b \in Q_i^b$ و $q_i^b \in Q_i^b$ به ترتیب معرف یکی از اعضای مجموعه های ترکیبات مجاز دریافت خدمات a و b مربوط به سکوی سرچاهی i هستند. برای مثال یک مسئله با افق برنامه ریزی 4 دوره‌ی با دو سکوی سرچاهی یک شناور پشتیبان و یک شناور سرچاهی متوجه را در نظر بگیرید به طوری که متوجه در شرایطی که قرار است خدمت c در محل یک سکوی سرچاهی در یک دوره صورت پذیرد، در قالب یک رابطه منطقی بیان شده است. در واقع این محدودیت زام می‌کند که اولاً اگر خدمت c اتفاق افتاد و در نتیجه‌ی آن به دلیل رابطه‌ی 9 متغیر دودویی مربوطه مقدار یک گرفت، متغیرهای زمان‌بندی متناظر آنها نیز با توجه به توالی عملیات مقادیر متناسب بگیرند.

محدودیت 26 بیان‌گر میزان بیشینه‌ی مدت زمان انتظار مجاز شناور پشتیبان در محل هریک از سکوهای سرچاهی برای ارائه خدمت c به یک شناور سرچاهی متوجه است.

$$Delay_{ikl} \leq Dy(\sum_m x_{ikml}^c) \quad \forall i \in W, k \in A, l \in P \quad (26)$$

در رابطه‌های 27 و 28 ، نتایج متغیرهای زمان‌بندی شناورهای پشتیبان و سرچاهی متوجه در شرایطی که قرار است خدمات c در محل یک سکوی سرچاهی در یک دوره صورت پذیرد، در قالب یک رابطه منطقی بیان شده است. در واقع این محدودیت زام می‌کند که اولاً اگر خدمت c باشد و مجموعه های ترکیبات مجاز دریافت خدمات برابر با $\{Q_1^a = \{(1; 4), (2; 3)\}, Q_2^a = \{(1; 3), (2; 4)\}, Q_3^a = \{(1; 2), (1; 3), 1, (1; 2; 4), (1; 3)\}, Q_4^a = \{(1; 2; 4), 2, (1; 4), (2; 3)\}, Q_5^a = \{(1; 3), 2, (1; 2; 3), (2; 4)\}, Q_6^a = \{(1; 2; 4), 2, (1; 3), 1, (1; 2; 4), (1; 3)\}, Q_7^a = \{(1; 2; 4), 2, (1; 3), 1, (1; 2; 4), (1; 3)\}, Q_8^a = \{(1; 2; 4), 2, (1; 3), 1, (1; 2; 4), (1; 3)\}, Q_9^a = \{(1; 2; 4), 2, (1; 3), 1, (1; 2; 4), (1; 3)\}$ باشند. برای این مثال $\{Q_1^b = \{(1; 2; 4), 2, (1; 3), 1, (1; 2; 4), (1; 3)\}, Q_2^b = \{(1; 2; 4), 2, (1; 3), 1, (1; 2; 4), (1; 3)\}, Q_3^b = \{(1; 2; 4), 2, (1; 3), 1, (1; 2; 4), (1; 3)\}, Q_4^b = \{(1; 2; 4), 2, (1; 3), 1, (1; 2; 4), (1; 3)\}, Q_5^b = \{(1; 2; 4), 2, (1; 3), 1, (1; 2; 4), (1; 3)\}, Q_6^b = \{(1; 2; 4), 2, (1; 3), 1, (1; 2; 4), (1; 3)\}, Q_7^b = \{(1; 2; 4), 2, (1; 3), 1, (1; 2; 4), (1; 3)\}, Q_8^b = \{(1; 2; 4), 2, (1; 3), 1, (1; 2; 4), (1; 3)\}, Q_9^b = \{(1; 2; 4), 2, (1; 3), 1, (1; 2; 4), (1; 3)\}$ باشند. برای این مثال $\{IBC^{abc} = \{(1; 2; 4), 2, (1; 3), 1, (1; 2; 4), (1; 3)\}, IBC^{bc} = \{(1; 2; 4), 2, (1; 3), 1, (1; 2; 4), (1; 3)\}, IBC^{ab} = \{(1; 2; 4), 2, (1; 3), 1, (1; 2; 4), (1; 3)\}, IBC^{a} = \{(1; 2; 4), 2, (1; 3), 1, (1; 2; 4), (1; 3)\}$ باشند.

در این الگوریتم، فهرست اطلاعات عبارت است از فهرست به روز شده اطلاعات ورودی مسئله شامل $F_i^a, F_i^b, F_m^c, Q_i^a, Q_i^b, Q_m^c$. در واقع زمانی که برای اولین بار هر تکرار الگوریتم اجرا می‌شود، فهرست اطلاعات برابر است با اطلاعات ورودی مسئله. حال پس از هر ترسیم اجرا برای شناورها، فهرست اطلاعات به روز می‌شود و بقیه‌ی الگوریتم بر اساس آخرین فهرست اطلاعات ادامه پیدا می‌کند. در این الگوریتم، فهرست سیاه عبارت است از فهرست نشانه‌ها و مشخصه‌هایی که الگوریتم را به سمت تولید جواب‌های ناموجه سوق می‌دهد. در واقع زمانی که برای اولین بار هر تکرار الگوریتم اجرا می‌شود، فهرست سیاه یک فهرست تهی و بدون عضو است. حال هر زمان که الگوریتم در حین مسیریابی برای شناورها نتواند تورهای موجهی بسازد، مشخصه‌هایی از مسئله را که منجر به این وضعیت می‌شود، در فهرست سیاه نگهداری می‌کند. به عبارت بهتر فهرست سیاه کمک خواهد کرد تا از به کارگیری یک ترکیب پایه اولیه‌ی که منجر به جواب موجه نخواهد شد (طبق تجربه‌ی تکرارهای قبلی)، جلوگیری کند. فهرست تکراری عبارت است از فهرست نشانه‌ها و مشخصه‌هایی که الگوریتم را به سمت تولید جواب‌های موجه تکراری در تکرارهای قبلی سوق می‌دهد. در واقع زمانی که برای اولین بار هر تکرار الگوریتم اجرا می‌شود، فهرست تکراری یک فهرست تهی و بدون عضو است. حال هر زمان که الگوریتم در حین مسیریابی برای شناورها تورهای موجهی بسازد، مشخصه‌هایی از مسئله را که منجر به این وضعیت می‌شود، در فهرست تکراری نگهداری می‌کند. به عبارت بهتر فهرست تکراری کمک خواهد کرد تا از به کارگیری یک ترکیب پایه اولیه که منجر به جواب موجه تکراری شود (طبق تجربه تکرارهای قبلی)، جلوگیری کند. الگوریتم ابتکاری پیشنهادی یک الگوریتم تکرار شونده است که فلوجارت نحوه اجرای هر تکرار آن در شکل 4 آمده است. همان‌گونه که مشاهده می‌شود، بدنه‌ی اجرایی در هر تکرار به چهار بخش تقسیم می‌شود. در بخش اول در قالب یک حلقه‌ی تکرار شونده، تا جایی که شرایط موجه بودن فراهم باشد و نیازهای خدمتی رفع شود، بر اساس یک IBC^{abc} . تورهای موجه مربوطه برای رفع هم‌زمان سه نوع خدمت ساخته می‌شوند تا به طور هم‌زمان نیازهای خدمت c برای شناورهای سرچاهی متوجه با توجه به پنجه‌های زمانی معین و نیازهای خدمات a و b برای سکوهای سرچاهی مورد توجه قرار گیرد. در هر تکرار از این بخش، ابتدا تمام IBC^{abc} های ممکن بر اساس آخرین تغییرات فهرست اطلاعات، فهرست سیاه و فهرست تکراری ساخته می‌شوند و ازین آنها IBC^{abc} بیان انتخاب

$$S_{ikl} - S_{il}' \leq d^b + M(1 - \sum_m x_{ikml}^c) \quad \forall i \in W, k \in A, l \in P \quad (27)$$

$$S_{ikl} - S_{il}' \geq -d^a x_{ikl}^a - Delay_{ikl} - M(1 - \sum_m x_{ikml}^c) \quad \forall i \in W, k \in A, l \in P \quad (28)$$

$$\text{در نهایت دسته محدودیت های } 29 \text{ و } 30 \text{ اطمینان می‌دهند که ارائه خدمت } c \text{ به شناورهای سرچاهی متوجه توسعه شناورهای پشتیبان در پنجره های زمانی تعیین شده صورت پذیرد.}$$

$$S_{il}' \geq \sum_k \sum_m e_m x_{ikml}^c - d^b - M(1 - \sum_k \sum_m x_{ikml}^c) \quad \forall i \in W, l \in P \quad (29)$$

$$S_{il}' \leq \sum_k \sum_m l_m x_{ikml}^c + M(1 - \sum_k \sum_m x_{ikml}^c) \quad \forall i \in W, l \in P \quad (30)$$

۴. الگوریتم ابتکاری

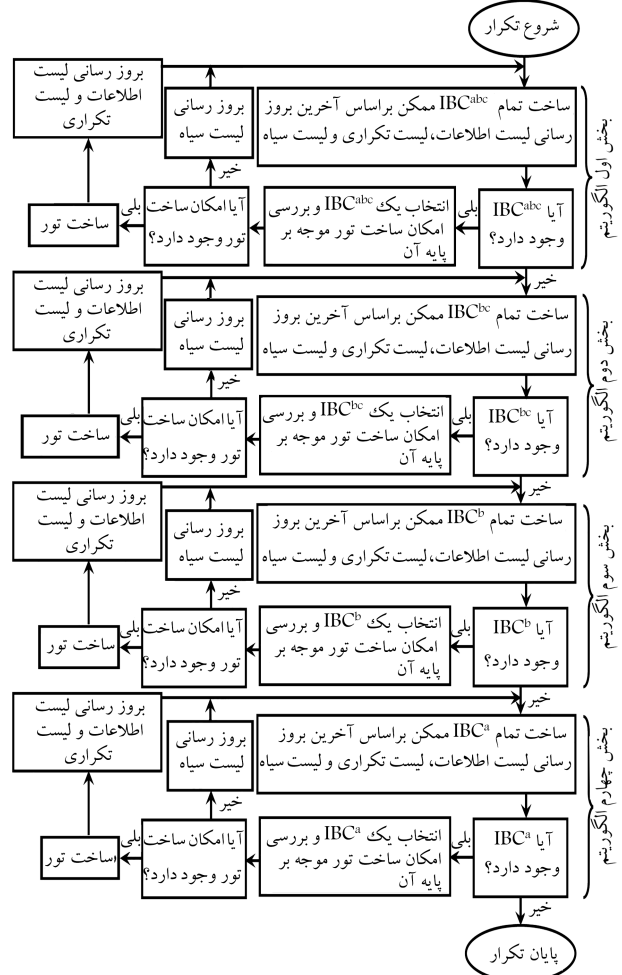
همان‌گونه که پیش تر اشاره شد، مسئله‌ی PVRPTW یکی از زیرمجموعه‌های عمومیت داده شده مسئله کلاسیک VRP، که یکی از معروف‌ترین مسائل بهینه‌سازی ترکیبی NP-hard است، می‌باشد. پیچیدگی مسئله‌ی مسیریابی وسیله‌ی حمل و نقل بررسی شده و ثابت شده است که این مسئله و تمام مسائل زیرمجموعه‌ی آن که هر کدام از بعدی آن را عمومیت می‌بخشنند، به ازای تمام نمودهای ورودی، با الگوریتم حلی در زمان چندجمله‌ی قابل حل نیستند^[20] و مسئله‌ی موردنظر این مقاله نیز NP-hard است. روش‌های حل ابتکاری و فرالبتکاری برای این‌گونه مسائل کاربردی است؛ با بررسی مقالات روند رو به رشد توسعه‌ی الگوریتم‌های ابتکاری و فرالبتکاری در دهه‌ی اخیر به خوبی به چشم می‌خورد. در این بخش یک الگوریتم ابتکاری به منظور حل مسئله معرفی می‌شود که بر پایه‌ی شرایط عملیاتی مسئله توسعه داده شده است.

چهار نوع ترکیب پایه‌ی اولیه که به اختصار با IBC^{abc} , IBC^{ab} , IBC^b و IBC^a نشان داده می‌شوند، به ترتیب با $(m, q_m^c, i, q_i^a, q_i^b)$, $(m, q_m^c, i, q_i^a, q_i^b)$ و (i, q_i^a, q_i^b) تعریف می‌شوند و در آنها $m \in B$ معرف یکی از شناورهای

مذکور و ساخت یک تور جدید، اگر در زیرتهرهای $j \rightarrow o \rightarrow k \rightarrow i \rightarrow o$ یا $j \rightarrow o \rightarrow k \rightarrow i \rightarrow j \rightarrow o$ را که به لحاظ زمان بندی به این تور وابسته‌اند، به همراه تورهای شناورهای m' و m'' را که به لحاظ پنجره‌ی زمانی بررسی کنیم و اگر در زیرتور $o \rightarrow k \rightarrow i \rightarrow o$ را اضافه کنیم، صرفاً موجه بودن تور $o \rightarrow k \rightarrow i \rightarrow j \rightarrow o$ برای شناور پشتیبان مذکور از لحاظ زمان بندی و رعایت پنجره‌ی زمانی بررسی کنیم و اگر در زیرتور $o \rightarrow k \rightarrow i \rightarrow o$ را اضافه کنیم، صرفاً موجه بودن تور $o \rightarrow k \rightarrow i \rightarrow j \rightarrow o$ را از نظر زمان بندی و پنجره‌ی زمانی بررسی کنیم. در هر حال در این بخش با اضافه کردن سکوی i در تمام ظرفیت‌های خالی شناورهای پشتیبان، در همایت توری متعلق به یکی از شناورها انتخاب می‌شود که ضمن موجه بودن، دارای کمترین هزینه باشد. اگر پس از بررسی تمام حالات اضافه کردن سکو در ظرفیت‌های خالی شناورها در تمام دوره‌های مشترک، امکان تورسازی هم زمان شناورها وجود نداشته باشد، آن‌گاه مشخصه‌های مربوط به این وضعیت در فهرست سیاه ذخیره می‌شود. اگر در هریک از دوره‌های مشترک، توری برای شناورها ساخته شد، مشخصه‌های مربوط به تورها در فهرست تکراری ذخیره می‌شوند و مقادیر باقی‌مانده‌ی F_i^c , F_i^b , F_i^a , Q_i^a و Q_i^b به روزرسانی شده و در فهرست اطلاعات ذخیره می‌شوند و مجدد نسبت به ساخت تمام IBC^{abc} های ممکن اقدام و روند توضیح داده شده تکرار می‌شود تا جایی که دیگر IBC^{abc} بی با حداقل یک دوره‌ی مشترک وجود نداشته باشد که در این وضعیت به بخش دوم می‌رویم.

در بخش دوم با یک رویکرد تکرار شونده، بر اساس یک IBC^{abc} با بیشترین دوره‌های مشترک بین q_m^c و q_i^b ، تورهای موجه برای رفع دو نوع خدمت ساخته می‌شوند تا به طور هم‌زمان نیازهای خدمت c برای شناورهای سرچاگی متحرک با توجه به پنجره‌های زمانی معین و نیازهای خدمت b برای سکوهای سرچاگی مورد توجه قرار گیرد. کلیه‌ی گام‌های این بخش مشابه بخش اول است با این نکاوت که همه‌ی اقدامات بر مبنای یک IBC^{abc} انجام می‌شود.

در بخش سوم در یک فرایند تکراری، بر اساس یک IBC^{abc} تورهای تكمیلی موجه به منظور رفع نیازهای خدمت b برای سکوهای سرچاگی ساخته می‌شوند. در هر تکرار از این بخش، ابتدا تمام IBC^{abc} های ممکن بر اساس آخرین تغییرات فهرست اطلاعات، فهرست سیاه و فهرست تکراری ساخته می‌شوند و ازین آنها IBC^{abc} انتخاب می‌شود که دارای بیشترین F_i^b است. اگر هیچ IBC^{abc} انتخاب یافته نشده، به بخش چهارم می‌رویم. اما چنانچه بیش از یک IBC^{abc} از صفر یافته نشده، به بخش چهارم می‌رویم. اما چنان‌چه بیش از یک IBC^{abc} دارای چنین شرایطی بودن، ازین آنها یکی را به طور تصادفی انتخاب می‌کنیم. اگنون برای هر دوره متعلق به IBC^{abc} انتخابی، باید یک تور برای یکی از شناورهای سرچاگی متحرک باشد. اگنون برای هر دوره متعلق به IBC^{abc} انتخابی، باید یک تور برای یکی از شناور سرچاگی متحرک با اندیس m , با دو حالت مواجه هستیم. یا در حال حاضر دارای هیچ توری نیست که در این صورت تنها تور ممکن $o \rightarrow i \rightarrow o$ است یا این‌که دارای یک تور مانند $o \rightarrow k \rightarrow i \rightarrow o$ است به این معنا که علاوه بر ارائه‌ی خدمت b در محل سکوهای j و k توسط شناور سرچاگی متحرک m , در محل سکوی z ارائه‌ی خدمت c به شناور سرچاگی متحرک m در پنجره‌ی زمانی $[e_m, l_m]$ توسط یکی از شناورهای پشتیبان انجام می‌شود. حال به منظور اضافه کردن سکوی i در تور مذکور و ساخت یک تور جدید، اگر در زیرتور $(j) \rightarrow o \rightarrow k \rightarrow i \rightarrow o$ را اضافه کنیم، به دلیل امکان تغییر در زمان بندی مسیر، باید مجدد موجه بودن تور شناور پشتیبان مذکور را به همراه تور جدید $o \rightarrow i \rightarrow k \rightarrow j \rightarrow o$ است؛ برای شناور سرچاگی متحرک m از نظر زمان بندی و رعایت پنجره‌ی زمانی بررسی کنیم و اگر در زیرتورهای $k \rightarrow (j)$ یا $o \rightarrow k \rightarrow i \rightarrow o$ سکو را اضافه کنیم، صرفاً موجه بودن تورهای $o \rightarrow k \rightarrow i \rightarrow o$ یا $o \rightarrow i \rightarrow k \rightarrow (j)$ است.



شکل ۴. فلوچارت نحوی اجرای یک تکرار از الگوریتم ابتکاری.

می‌شود که دارای بیشترین دوره‌های مشترک بین q_m^c , q_i^c و q_i^b است. اگر هیچ IBC^{abc} بی با حداقل یک دوره‌ی مشترک یافت نشد، به بخش دوم می‌رویم. اما چنانچه بیش از یک IBC^{abc} دارای چنین شرایطی بودن، ازین آنها یکی را به طور تصادفی انتخاب می‌کنیم. در مثال پیش‌گفته، $\{1; 3\}, \{1; 2; 4\}, \{1; 1; 2; 3\}, \{1; 2; 4\}, \{2; 3\}, \{1; 1; 2; 4\}, \{1; 2; 4\}$ و $\{1; 2; 4\}$ سه ترکیب پایه با یک دوره‌ی مشترک هستند. اگنون برای هر دوره‌ی مشترک در IBC^{abc} انتخابی، باید یک تور برای شناور سرچاگی متحرک m و یک تور برای یکی از شناورهای پشتیبان سازیم و برای هر دوی آنها موجه بودن از نظر زمان بندی و رعایت پنجره‌ی زمانی $[e_m, l_m]$ را بررسی کنیم. برای شناور سرچاگی متحرک m فقط تور ممکن $o \rightarrow i \rightarrow o$ است. زیرا تا قبل از این بخش، الگوریتم اجازه نداشته است به صورت مستقل برای شناورهای سرچاگی متحرک به منظور صرفاً رفع نیازهای خدمت b برای سکوهای سرچاگی تور بسازد. برای هر شناور پشتیبان، با دو حالت مواجه هستیم. یا در حال حاضر دارای هیچ توری نیست که در این صورت تنها تور ممکن $o \rightarrow k \rightarrow j \rightarrow o$ است یا این‌که دارای یک تور مانند $o \rightarrow k \rightarrow i \rightarrow o$ است؛ به این معنا که علاوه بر این‌که در محل سکوهای j و k توسط شناور سرچاگی متحرک m , در محل سکوی z ارائه‌ی خدمت c به شناورهای پشتیبان انجام می‌شود. حال به منظور اضافه کردن سکوی i در تور مذکور و ساخت یک تور جدید، اگر در زیرتور $(j) \rightarrow o \rightarrow k \rightarrow i \rightarrow o$ را اضافه کنیم، به دلیل امکان تغییر در زمان بندی مسیر، باید مجدد موجه بودن تور شناور پشتیبان مذکور را به همراه تور جدید $o \rightarrow i \rightarrow k \rightarrow j \rightarrow o$ است؛ به این معنا که در محل سکوهای j و k توسط شناورهای سرچاگی متحرک m در پنجره‌های زمانی $[e_{m'}, l_{m'}]$ و $[e_{m''}, l_{m''}]$ انجام می‌شود؛ بطوری‌که $m \neq m' \neq m''$ زیرا در هر دوره یک شناور سرچاگی متحرک بیش از یکبار خدمت c را دریافت نمی‌کند. حال به منظور اضافه کردن سکوی i در تور

از صفر یافت نشود، که در این وضعیت تا اینجا یک تکرار از الگوریتم به پایان می‌رسد.

۵. نتایج عددی

در این بخش، به بررسی نتایج عددی به منظور ارزیابی عملکرد الگوریتم ابتکاری معرفی شده می‌پردازیم. بدلیل نبود مسائل مشابه در سایر مقالات که مرتبط با شرایط عملیاتی مسئله‌ی مورد نظر این مقاله باشند، 80 نمونه مسئله‌ی واقعی منبع از هشت میدان نفتی مختلف در نظر گرفته شده و نتایج الگوریتم ابتکاری با نتایج حاصل از اعمال حل‌کننده‌ی CPLEX روی مدل ریاضی و همچنین نتایج حاصل از بهکارگیری رویکردهای برنامه‌ریزی فعلی که مبتنی بر سازوکارهای غیرنظاممند و بهترین تیارب به دست آمده است، مقایسه شده‌اند. جدول ۱ اطلاعات مربوط به این میدان‌های نفتی را شامل تعداد سکوهای سرچاهی و شناورها، متوسط زمان سفر شناورها بین سکوها به ساعت و کمینه و بیشینه‌ی آنها، متوسط هزینه‌ی سفر بین سکوها به واحد پولی و کمینه و بیشینه‌ی آنها، تعداد دوره‌های برنامه‌ریزی به روز، هزینه‌ی کمودر واحد خدمات a , b , c به واحد پولی، زمان ارائه‌ی خدمات a , b و c به ساعت، بیشینه‌ی زمان مجاز انتظار یک شناور پشتیبان به ساعت و سقف زمانی دوره‌ها به ساعت نشان می‌دهد. به منظور انجام مقایسه‌ها، کدنویسی الگوریتم ابتکاری، مدل ریاضی مسئله و حل آن به کمک حل‌کننده‌ی CPLEX^{۱۲,۶} در محیط برنامه‌نویسی Visual C++ انجام شده است و در بستر یک کامپیوتر با مشخصات سخت‌افزاری کوتاه‌مدت (RAM) 16GB (اجرا شده و مدت 8 ساعت به عنوان حد توقف اجرای کد در نظر گرفته شد. برای همه‌ی نمونه‌ها، CPLEX بدون حصول به جواب بهینه، به حد زمانی توقف رسید و بهترین مقدار تابع هدف در حد زمانی توقف، به منظور مقایسه با نتایج حاصل از اعمال الگوریتم ابتکاری در نظر گرفته شد. ضمناً برای همه‌ی نمونه‌ها، الگوریتم ابتکاری با حد زمانی 8 ساعت یا 1000 تکرار (هر کدام که زودتر واقع شود) اجرا شد و بهترین نتیجه‌ی حاصل تا حدود توقف در نظر گرفته شد. جدول ۲ یک جمع‌بندی از نتایج محاسباتی نمونه مسائل مذکور را نشان می‌دهد که در آن Z_C و Z_{CPLEX} و Z_H به ترتیب معرف جواب حاصل از برنامه‌ریزی موجود، CPLEX و الگوریتم ابتکاری‌اند. برای هر نمونه مسئله، جواب اولین تکرار الگوریتم ابتکاری و زمان صرف شده برای آن، زمان صرف شده برای اولین تکراری که جواب‌های CPLEX و برنامه‌ریزی شده بهمود پیدا می‌کند، به دست آمده است. در نهایت میزان تفاوت نسبی بین جواب الگوریتم ابتکاری و بهترین جواب‌های CPLEX و برنامه‌ریزی موجود که نخودی محاسبه‌آنها به ترتیب به صورت $(Z_{CPLEX} - Z_H) / Z_{CPLEX}$ و $(Z_C - Z_H) / Z_C$ است، نشان داده شده است. در نهایت رشدات، جواب‌های CPLEX و برنامه‌ریزی موجود به طور متوسط به ترتیب به مقدار 47.5% و 5.21% بهبود یافته‌اند و الگوریتم ابتکاری جواب‌های بهتری را نسبت به CPLEX به طور میانگین بعد از $1/5$ تکرار با زمان 40.9 ثانیه و نسبت به برنامه‌ریزی موجود به طور میانگین بعد از $1/12$ تکرار با زمان 9.15 ثانیه به دست می‌دهد. همچنین الگوریتم ابتکاری در اولین تکرار نسبت به CPLEX در نمونه از 10 نسبت به جواب‌های برنامه‌ریزی موجود، در 8 نمونه از 10 نمونه، جواب بهتری را تولید کرده است.

در نهایت های میدان نصر، جواب‌های CPLEX و برنامه‌ریزی موجود به طور متوسط به ترتیب به مقدار 1.30% و 4.15% بهبود یافته‌اند. در بدترین حالت، در

سرچاهی متحرك m را از نظر زمان‌بندی بررسی کنیم. در هر حال در این بخش با اضافه کردن سکوی n در تمام ظرفیت‌های خالی شناورهای سرچاهی متحرك، در نهایت توری متعلق به یکی از شناورهای سرچاهی متحرك انتخاب می‌شود که ضمن موجه بودن، دارای کمترین هزینه باشد. اگر پس از بررسی تمام حالات اضافه کردن سکو در ظرفیت‌های خالی شناورهای سرچاهی متحرك در تمام دوره‌های متعلق به IBC^b انتخابی، امکان تورسازی وجود نداشته باشد، آنگاه مشخصه‌های مرتبه ذخیره می‌شوند و مجدداً نسبت به ساخت دوره‌ها، تورسازی برای شناورهای سرچاهی متحرك انجام شد، مشخصه‌های مرتبه ذخیره می‌شوند و روند توضیح داده شده تکرار می‌شود تا جایی که در این وضعیت به بخش چهارم می‌رسیم.

در نهایت در بخش چهارم در یک فرایند تکراری، بر اساس یک IBC^a، دوره‌ای تکمیلی موجه به منظور رفع نیازهای خدمت a برای سکوهای سرچاهی ساخته می‌شوند. در هر تکرار از این بخش، ابتدا تمام IBC^a های ممکن بر اساس آخرین تغییرات فهرست اطلاعات، فهرست سیاه و فهرست تکراری ساخته می‌شوند و از بین آنها^a IBC^a بی انتخاب می‌شود که دارای بیشترین F_i^a است. اگر هیچ IBC^a با بزرگتر از صفر یافت نشد، در اینجا یک تکرار الگوریتم به پایان می‌رسد. اما چنان‌چه بیش از یک IBC^a دارای چنین شرایطی بودند، از بین آنها یکی را به طور تصادفی انتخاب می‌کنیم. اکنون برای هر دوره متعلق به IBC^a انتخابی، باید یک تور برای یکی از شناورهای پشتیبان سازیم و موجه بودن از نظر زمان‌بندی را بررسی کنیم. برای یک شناور پشتیبان، با دو حالت مواجه هستیم. با در حال حاضر دارای هیچ توری نیست که در این صورت تنها تور ممکن $0 \rightarrow i \rightarrow o \rightarrow o$ است یا اینکه دارای یک تور مانند $o \rightarrow k \rightarrow (j) \rightarrow o$ است؛ به این معنا که علاوه‌بر ارائه‌ی خدمت a در محل سکوهای j و k توسط شناور پشتیبان مذکور در محل سکوی z خدمت c توسط این شناور پشتیبان به شناور سرچاهی متحرك در پنجره‌ی زمانی $[e_m, l_m]$ انجام می‌شود. حال به منظور اضافه کردن سکوی m در تور مذکور و ساخت یک تور جدید، اگر در زیرتور $(j) \rightarrow o$ سکوی z را اضافه کنیم، بدلیل امکان تغییر در زمان‌بندی مسیر، باید مجدداً موجه بودن تور شناور سرچاهی متحرك m را به همراه تور جدید $o \rightarrow i \rightarrow k \rightarrow (j) \rightarrow o$ برای شناور پشتیبان مذکور از نظر زمان‌بندی و رعایت پنجره‌ی زمانی بررسی کنیم و اگر در زیرتورهای $(j) \rightarrow o$ یا $o \rightarrow k \rightarrow (j)$ یا $o \rightarrow i \rightarrow k \rightarrow (j)$ یا $o \rightarrow i \rightarrow k \rightarrow o$ برای شناور پشتیبان مذکور را از نظر زمان‌بندی بررسی کنیم. در هر حال در این بخش با اضافه کردن سکو در تمام ظرفیت‌های خالی شناورهای پشتیبان، در نهایت توری متعلق به یکی از شناورهای هزینه باشد. اگر پس از بررسی تمام حالات اضافه کردن سکو در اداری کمترین هزینه باشد، آنگاه مشخصه‌های مرتبه ذخیره شده در فهرست سیاه وجود نداشته باشد، آنگاه مشخصه‌های مرتبه ذخیره شده در فهرست اطلاعات ذخیره می‌شوند و مجدداً نسبت به ساخت F_i^a و مجموعه‌ی Q_i^a به روزرسانی و در فهرست اطلاعات ذخیره می‌شود تا جایی که دیگر IBC^a بی با F_i^a بزرگتر

جدول ۱. اطلاعات مربوط به میدان نفتی.

C'_{\max}	C'_{\min}	\bar{C}'	C_{\max}	C_{\min}	\bar{C}	t'_{\max}	t'_{\min}	\bar{t}'	t_{\max}	t_{\min}	\bar{t}	$ B $	$ A $	$ W $	میدان نفتی
۷۳/۱۲	۶/۵۷	۳۶/۵۸	۳۱/۳۴	۲/۸۲	۱۵/۶۷	۰/۴۷	۰/۰۴	۰/۲۴	۰/۳۲	۰/۰۳	۰/۱۶	۱	۲	۷	رشادت
۱۱۲/۳۶	۱۴/۷۵	۴۷/۶۶	۴۸/۵۷	۶/۳۲	۲۰/۴۲	۰/۷۴	۰/۱	۰/۳۱	۰/۴۹	۰/۰۶	۰/۲۱	۱	۲	۸	نصر
۵۵/۰۸	۵/۱۵	۲۰/۹۵	۲۲/۶	۲/۲۱	۸/۹۸	۰/۳۶	۰/۰۳	۰/۱۴	۰/۲۴	۰/۰۲	۰/۰۹	۱	۲	۱۰	درود
۱۰۵/۳۹	۶/۴۳	۴۷/۳	۴۵/۱۶	۲/۷۶	۲۰/۲۷	۰/۶۸	۰/۰۴	۰/۳۱	۰/۴۶	۰/۰۳	۰/۲	۱	۲	۱۱	ابذر
۱۴۹/۸۶	۶/۹۶	۵۹/۹۸	۶۴/۲۲	۲/۹۸	۲۵/۷	۰/۹۷	۰/۰۵	۰/۳۹	۰/۶۵	۰/۰۳	۰/۲۶	۲	۳	۱۴	فروزان
۷۸/۳۷	۶/۰۹	۴۳/۹۶	۳۳/۵۸	۲/۶۱	۱۴/۹۸	۰/۵۱	۰/۰۴	۰/۲۳	۰/۳۴	۰/۰۳	۰/۱۵	۲	۳	۱۵	بهرگانسر
۴۶/۴۴	۴/۹۹	۲۴/۳۲	۱۹/۹	۲/۱۴	۱۰/۴۲	۰/۳	۰/۰۳	۰/۱۶	۰/۲	۰/۰۲	۰/۱۱	۲	۳	۱۶	نوروز
۱۱۳/۴۳	۳/۱۵	۴۶/۱۲	۴۸/۶۱	۱/۵۲	۱۹/۷۶	۰/۷۴	۰/۰۲	۰/۳	۰/۴۹	۰/۰۲	۰/۲	۳	۴	۲۸	سلمان

$|P|=V, R^a=250, R^b=500, R^c=11250, d^a=3, d^b=4, d^c=3, Dy=2, D=12$
برای همه نمونه ها

جدول ۲. نتایج عددی برای نمونه مسائل.

تفاوت نسبی و Z_H Z_C	تفاوت نسبی Z_H Z_{PLEX}	الگوریتم ابتکاری								Z_C	Z_{PLEX}	نمونه		
		نتایج در حد توقف		$Z_H \leq Z_C$		$Z_H \leq Z_{\text{PLEX}}$		تکرار اول						
		زمان	Z_H	تکرار	زمان	Z_H	تکرار	زمان	Z_H	تکرار	زمان	Z_H		
۴/۷۷%	۴/۶۵%	۸۷۳۷	۱۰۱۵۷۵/۵	۱۰۰۰	۸	۱۰۱۸۲۸/۵	۱	۸	۱۰۱۸۲۸/۵	۱	۸	۱۰۱۸۲۸/۵	۱۰۶۶۶۳/۸	۱۰۵۲۸/۴
۴/۸۶%	۶/۹۱%	۷۷۶۲/۵	۱۰۱۵۱۸۹/۴	۱۰۰۰	۷/۵	۱۰۱۸۴۹/۸	۱	۷/۵	۱۰۱۸۴۹/۸	۱	۷/۵	۱۰۱۸۴۹/۸	۱۰۶۷۷۹/۳	۱۰۹۱۳۱/۱
۴/۷%	۳۵/۲۹%	۸۷۶۰/۵	۱۰۶۷۲۷/۷	۱۰۰۰	۱۷	۱۱۱۷۶۹/۴	۲	۸/۵	۱۱۴۲۱۷/۸	۱	۸/۵	۱۱۴۲۱۷/۸	۱۱۱۹۸۹/۲	۱۶۴۹۴۳/۵
۵/۱۴%	۲/۴۲%	۸۷۶۰	۹۶۶۸۴/۵	۱۰۰۰	۸/۵	۹۹۴۹۲/۹	۱	۴۹/۵	۹۶۸۳۷/۸	۶	۸/۵	۹۹۴۹۲/۹	۱۰۹۲۸/۷	۹۹۰۸/۱۸
۴/۸۷%	۲/۲٪	۵۲۳۸/۵	۱۰۴۲۵۷/۱	۱۰۰۰	۵	۱۰۴۳۰/۸	۱	۵	۱۰۴۳۰/۸	۱	۵	۱۰۴۳۰/۸	۱۰۹۳۶۶/۶	۱۰۶۶۰۲/۳
۴/۵۹%	۸/۳٪	۴۲۴۶/۵	۱۰۹۲۷۵/۱	۱۰۰۰	۴	۱۱۱۸۸۹/۷	۱	۴	۱۱۱۸۸۹/۷	۱	۴	۱۱۱۸۸۹/۷	۱۱۴۵۲۷/۴	۱۱۹۱۹۵/۳
۴/۷۶%	۲/۲٪	۱۱۴۸۲	۱۰۶۶۴۳/۲	۱۰۰۰	۱۱	۱۰۹۲۷۱/۸	۱	۵۰/۵	۱۰۶۸۳۹/۵	۵	۱۱	۱۰۹۲۷۱/۸	۱۱۱۹۷۵/۲	۱۰۹۰۵۲/۲
۶/۱۳٪	۲/۱۶٪	۵۲۵۵	۱۰۹۲۰۴/۹	۱۰۰۰	۵/۵	۱۱۱۷۶۸/۷	۱	۴۰/۵	۱۰۹۳۷۷/۱	۸	۵/۵	۱۱۱۷۶۸/۷	۱۱۶۵۸۵/۲	۱۱۱۸۲۱/۱
۶/۰٪	۴/۳٪	۸۷۴۰	۱۰۶۷۰۱/۴	۱۰۰۰	۸	۱۰۹۳۲۹/۱	۱	۱۷	۱۰۹۳۲۹/۱	۲	۸	۱۱۶۸۳۲/۶	۱۱۴۱۲۴/۵	۱۱۱۵۰۹/۵
۵/۷۹٪	۱/۸٪	۸۷۴۷/۵	۱۲۴۲۸۶/۴	۱۰۰۰	۸	۱۲۹۳۳۶/۳	۱	۲۱۲	۱۲۴۳۱۸/۲	۲۵	۸	۱۲۹۳۳۶/۳	۱۳۱۹۲۱/۸	۱۲۶۶۶۱/۹
۳/۷۶٪	۳/۱٪	۷۰۰۶	۷۶۳۱۲/۲	۱۰۰۰	۷/۵	۷۶۶۱۳/۱	۱	۷/۵	۷۶۶۱۳/۱	۱	۷/۵	۷۶۶۱۳/۱	۷۹۲۸۹/۶	۷۸۷۷۵/۱
۳/۲۹٪	۵/۲۶٪	۳۵۰	۸۴۱۵۹/۱	۱۰۰۰	۳۰/۵	۸۶۷۳۴/۸	۹	۳۰/۵	۸۶۷۳۴/۸	۹	۳/۵	۹۱۷۸۳/۹	۸۷۰۲۰/۵	۸۸۸۲۷/۱
۳/۶۶٪	۲/۸٪	۸۰۰/۵	۷۶۶۴۱/۱	۱۰۰۰	۸	۷۷۰۵۲/۳	۱	۸	۷۷۰۵۲/۳	۱	۸	۷۷۰۵۲/۳	۷۹۵۰۲/۱	۷۸۸۶۲/۱
۴/۱۸٪	۲/۴٪	۷۷۴۸/۵	۹۶۳۶۴/۵	۱۰۰۰	۲۴	۹۶۸۱۶/۴	۳	۲۴	۹۶۸۱۵/۴	۳	۸/۵	۱۰۶۰۹/۹	۱۰۱۲۷۷/۵	۹۸۷۳۹/۲
۴/۴٪	۲/۱٪	۴۲۲۵	۱۰۶۳۷۱/۷	۱۰۰۰	۳/۵	۱۰۹۰۰/۱	۱	۱۵/۵	۱۰۶۸۴۴/۷	۴	۳/۵	۱۰۹۰۰/۱	۱۱۱۳۴۸/۷	۱۰۸۷۲/۷
۴/۱۱٪	۴/۰٪	۴۵۰۴/۵	۱۱۶۳۷۹/۶	۱۰۰۰	۴/۵	۱۱۶۹۲۵/۳	۱	۴/۵	۱۱۶۹۲۵/۳	۱	۴/۵	۱۱۶۹۲۵/۳	۱۲۱۳۶۲/۸	۱۲۱۲۷۸/۷
۴/۴٪	۲/۱٪	۵۰۰	۱۰۶۴۵۲/۴	۱۰۰۰	۴	۱۰۹۳۶۳/۲	۸	۱۲۹/۵	۱۰۶۹۳۹/۹	۲۶	۴/۵	۱۱۱۹۶۹/۳	۱۱۱۳۷۹/۱	۱۰۸۸۰۴/۵
۴/۲٪	۲/۰٪	۴۵۰۳	۱۰۹۰۰۵۱/۱	۱۰۰۰	۲۷۸/۵	۱۱۳۹۳۱/۸	۶۲	۳۱۶۷/۵	۱۰۹۰۱/۱	۷۰۳	۴	۱۲۱۷۱۱/۲	۱۱۱۳۹۳۱/۸	۱۱۱۳۷۲/۷
۳/۸۵٪	۱/۹٪	۴۷۷۶	۱۲۴۰۱۲/۵	۱۰۰۰	۴/۵	۱۲۴۴۵۵/۹	۱	۴/۵	۱۲۴۴۵۵/۹	۱	۴/۵	۱۲۴۴۵۵/۹	۱۲۸۹۸۳/۴	۱۲۸۴۱۳/۷
۴/۸۳٪	۱/۸٪	۱۲۵۶	۱۱۱۴۳۸/۱	۱۰۰۰	۴۱	۱۱۶۸۶۳/۶	۵	۱۵۶/۵	۱۱۴۳۲۶/۷	۴۱	۷/۵	۱۲۴۲۷۷/۱	۱۱۷۰۸/۸	۱۱۶۲۷۲/۵
۵/۰٪	۹/۰٪	۱۱۲۵۵	۱۷۳۷۷۲/۵	۱۰۰۰	۱۱/۵	۱۸۳۷۳۴/۶	۱	۱۱/۵	۱۸۳۷۳۴/۶	۱	۱۱/۵	۱۸۳۷۳۴/۶	۱۸۳۸۳۶/۱	۱۹۱۰۶۴/۲
۵/۲۶٪	۱/۳٪	۱۸۴۹۹	۱۸۱۲۱۳/۶	۱۰۰۰	۹	۱۸۶۲۵۱/۷	۱	۶۸/۵	۱۸۱۳۸/۰/۳	۸	۹	۱۸۶۲۵۱/۷	۱۹۱۴۷۶/۵	۱۸۲۶۶۱/۳
۶/۱۶٪	۲/۶٪	۱۱۷۴۳/۵	۱۸۸۶۶۳/۸	۱۰۰۰	۱۲/۵	۱۹۳۸۱۹/۳	۱	۹۴/۵	۱۹۱۲۸۶	۸	۱۲/۵	۱۹۳۸۱۹/۳	۲۰۱۰۵۴/۱	۱۹۳۷۴۷/۲
۶/۰۹٪	۲/۵٪	۷۷۳۸/۵	۱۹۱۲۲۴/۱	۱۰۰۰	۷	۲۰۱۳۴/۰/۵	۱	۲۴	۱۹۶۱۳۳/۹	۳	۷	۲۰۱۳۴/۰/۵	۲۰۴۶۲۰/۷	۱۹۶۱۹۷
۵/۷۹٪	۳/۵٪	۱۸۷۳۶/۵	۲۰۳۶۷۹/۹	۱۰۰۰	۸/۵	۲۰۸۷۸۹	۱	۸/۵	۲۰۸۷۸۹	۱	۸/۵	۲۰۸۷۸۹	۲۱۶۱۹۶/۶	۲۱۱۱۵۱/۲
۵/۰٪	۷/۷٪	۷۷۲۵۸	۱۷۸۷۷۰/۹	۱۰۰۰	۶/۵	۱۸۳۷۲۲/۲	۱	۶/۵	۱۸۳۷۲۲/۲	۱	۶/۵	۱۸۳۷۲۲/۲	۱۸۸۹۸۶/۱	۱۹۳۶۷۸/۱
۶/۰٪	۲/۵٪	۹۲۹۵	۱۹۳۵۹۷/۵	۱۰۰۰	۹	۱۹۳۷۷۱/۲	۱	۹	۱۹۳۷۷۱/۲	۱	۹	۱۹۳۷۷۱/۲	۲۰۱۲۶/۶	۱۹۸۶۴۵/۴
۵/۰٪	۵/۳٪	۱۸۴۹۸	۱۶۹۱۰۳/۱	۱۰۰۰	۸/۵	۱۷۳۸۵۳/۱	۱	۸/۵	۱۷۳۸۵۳/۱	۱	۸/۵	۱۷۳۸۵۳/۱	۱۷۸۹۵۵/۹	۱۷۸۵۹۶/۴
۶/۱٪	۱/۳٪	۶۹۹۸	۱۸۸۶۷۰/۳	۱۰۰۰	۷	۱۹۱۲۸۰	۱	۵۶	۱۸۸۹۲۰/۳	۸	۷	۱۹۱۲۸۰	۲۰۱۱۳۲/۸	۱۹۱۱۵۳/۹
۵/۲۶٪	۲/۶٪	۶۲۵۰	۱۸۳۶۸۸/۹	۱۰۰۰	۵/۵	۱۸۸۶۶۹/۳	۱	۱۲	۱۸۸۶۹۲/۵	۲	۵/۵	۱۸۸۶۹۲/۵	۱۹۳۸۹۳/۳	۱۸۸۶۹۷/۷

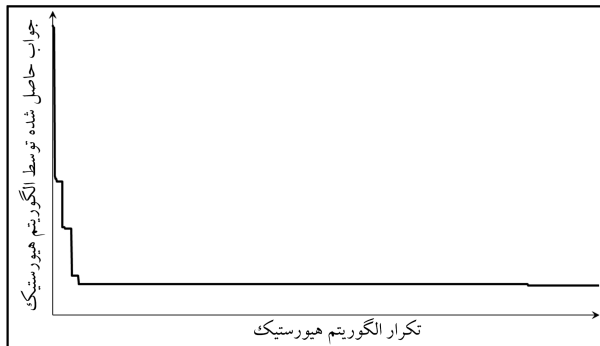
ادامه‌ی جدول ۲

تفاوت نسبی تفاوت نسبی	Z _H و Z _C	Z _H و Z _{PLEX}	الگوریتم ابتکاری										Z _C	Z _{PLEX}	نمونه		
			نتایج در حد توقف			Z _H ≤ Z _C		Z _H ≤ Z _{PLEX}		تکراری که		تکرار اول					
			زمان	Z _H	تکرار	زمان	Z _H	تکرار	زمان	Z _H	تکرار	زمان	Z _H				
۴/۷۷٪.	۴/۶۵٪.	۸۷۳۷	۱۰۱۵۷۵/۵	۱۰۰۰	۸	۱۰۱۸۲۸/۵	۱	۸	۱۰۱۸۲۸/۵	۱	۸	۱۰۱۸۲۸/۵	۱۰۶۶۶۲/۶	۱۰۶۵۲۸/۴	۱		
۴/۸۶٪.	۶/۹۱٪.	۷۲۶۲/۵	۱۰۱۵۸۹/۴	۱۰۰۰	۷/۵	۱۰۱۸۴۹/۸	۱	۷/۵	۱۰۱۸۴۹/۸	۱	۷/۵	۱۰۱۸۴۹/۸	۱۰۶۷۷۹/۳	۱۰۶۱۳۱/۱	۲		
۴/۷٪.	۳۵/۲۹٪.	۸۷۶۰/۵	۱۰۶۷۲۷/۷	۱۰۰۰	۱۷	۱۱۱۷۶۹/۴	۲	۸/۵	۱۱۴۲۱۷/۸	۱	۸/۵	۱۱۴۲۱۷/۸	۱۱۱۹۸۹/۳	۱۶۴۹۴۳/۵	۳		
۵/۱۴٪.	۲/۴۲٪.	۸۲۶۰	۹۶۶۸۴/۵	۱۰۰۰	۸/۵	۹۹۲۹۲/۹	۱	۴۹/۵	۹۶۸۳۷/۸	۶	۸/۵	۹۹۲۹۲/۹	۱۰۱۹۲۸/۷	۹۹۰۸۰/۸	۴		
۴/۶۷٪.	۲/۲٪.	۵۲۳۸/۵	۱۰۴۲۵۷/۱	۱۰۰۰	۵	۱۰۴۳۰/۸	۱	۵	۱۰۴۳۰/۸	۱	۵	۱۰۴۳۰/۸	۱۰۹۳۶۶/۶	۱۰۶۶۰۲/۳	۵		
۴/۵۹٪.	۸/۱۲٪.	۴۲۴۶/۵	۱۰۹۲۷۵/۱	۱۰۰۰	۴	۱۱۱۸۸۹/۷	۱	۴	۱۱۱۸۸۹/۷	۱	۴	۱۱۱۸۸۹/۷	۱۱۴۵۲۷/۴	۱۱۴۱۹۵/۳	۶		
۴/۷۶٪.	۲/۲۱٪.	۱۱۴۸۲	۱۰۶۴۴۳/۲	۱۰۰۰	۱۱	۱۰۹۲۷۱/۸	۱	۵۷	۱۰۶۸۵۳/۹	۵	۱۱	۱۰۹۲۷۱/۸	۱۱۱۹۷۵/۲	۱۰۹۰۵۲/۲	۷		
۶/۳۳٪.	۲/۱۶٪.	۵۲۵۵	۱۰۹۲۰۴/۹	۱۰۰۰	۵/۵	۱۱۱۷۶۸/۷	۱	۴۰/۵	۱۰۹۳۷۷/۱	۸	۵/۵	۱۱۱۷۶۸/۷	۱۱۶۵۸۵/۳	۱۱۱۶۲۱/۱	۸		
۶/۰٪.	۴/۲۱٪.	۸۲۴۰	۱۰۶۷۰۱/۴	۱۰۰۰	۸	۱۰۹۳۲۹/۱	۱	۱۷	۱۰۹۳۲۹/۱	۲	۸	۱۱۶۸۲۲/۶	۱۱۴۱۲۴/۵	۱۱۱۵۰۹/۵	۹		
۵/۷۹٪.	۱/۱۸٪.	۸۴۷۶/۵	۱۲۴۲۸۶/۴	۱۰۰۰	۸	۱۲۹۳۲۶/۳	۱	۲۱۲	۱۲۴۳۱۸/۲	۲۵	۸	۱۲۹۳۲۶/۳	۱۳۱۹۲۱/۸	۱۲۶۶۶۱/۹	۱۰		
۳/۷۶٪.	۳/۱۳٪.	۷۰۰۶	۷۶۳۱۲/۳	۱۰۰۰	۷/۵	۷۶۶۱۲/۱	۱	۷/۵	۷۶۶۱۲/۱	۱	۷/۵	۷۶۶۱۲/۱	۷۹۲۸۹/۶	۷۸۷۷۵/۱	۱		
۳/۲۹٪.	۵/۲۶٪.	۳۵۰۰	۸۴۱۵۹/۱	۱۰۰۰	۳۰/۵	۸۶۷۳۴/۸	۹	۳۰/۵	۸۶۷۳۴/۸	۹	۳/۵	۹۱۷۸۳/۹	۸۷۰۲۰/۵	۸۸۸۲۷/۱	۲		
۳/۶۶٪.	۲/۸۲٪.	۸۰۰۵/۵	۷۶۶۴۱/۱	۱۰۰۰	۸	۷۷۰۵۲/۳	۱	۸	۷۷۰۵۲/۳	۱	۸	۷۷۰۵۲/۳	۷۹۵۵۲/۱	۷۸۸۶۲/۱	۳		
۴/۸۵٪.	۲/۴۱٪.	۷۷۴۸/۵	۹۶۳۶۴/۵	۱۰۰۰	۲۴	۹۶۸۱۶/۴	۳	۲۴	۹۶۸۱۵/۴	۳	۸/۵	۱۰۶۵۰۹/۹	۱۰۱۲۷۷/۵	۹۸۷۳۹/۲	۴		
۴/۴۷٪.	۲/۱۲٪.	۴۲۲۵	۱۰۶۳۷۱/۷	۱۰۰۰	۳/۵	۱۰۹۰۰۱/۵	۱	۱۵/۵	۱۰۶۸۴۴/۷	۴	۳/۵	۱۰۹۰۰۱/۵	۱۱۱۳۴۸/۷	۱۰۸۶۷۲/۷	۵		
۴/۱۱٪.	۴/۰۴٪.	۴۵۰۴/۵	۱۱۶۳۷۹/۶	۱۰۰۰	۴/۵	۱۱۶۹۲۵/۳	۱	۴/۵	۱۱۶۹۲۵/۳	۱	۴/۵	۱۱۶۹۲۵/۳	۱۲۱۳۶۲/۸	۱۲۱۲۷۸/۷	۶		
۴/۴۳٪.	۲/۱۶٪.	۵۰۰۰	۱۰۶۴۵۲/۴	۱۰۰۰	۴۰	۱۰۹۳۶۳/۲	۸	۱۲۹/۵	۱۰۶۹۳۹/۹	۲۶	۴/۵	۱۱۱۹۶۹/۳	۱۱۱۳۷۹/۱	۱۰۸۸۰۴/۵	۷		
۴/۲۸٪.	۲/۰۸٪.	۴۵۰۳	۱۰۹۰۵۱/۱	۱۰۰۰	۲۷۸/۵	۱۱۳۹۳۱/۸	۶۲	۳۱۶/۵	۱۰۹۰۵۱/۱	۷۰۳	۴	۱۲۱۷۱۱/۳	۱۱۳۹۳۱/۸	۱۱۱۳۷۲/۷	۸		
۳/۸۵٪.	۱/۹٪.	۴۷۷۶	۱۲۴۰۱۲/۵	۱۰۰۰	۴/۵	۱۲۴۴۵۰/۹	۱	۴/۵	۱۲۴۴۵۰/۹	۱	۴/۵	۱۲۴۴۵۰/۹	۱۲۸۹۸۳/۴	۱۲۶۴۱۳/۷	۹		
۴/۸۳٪.	۴/۱۶٪.	۸۲۵۶	۱۱۱۴۳۸/۱	۱۰۰۰	۴۱	۱۱۶۸۶۳/۶	۵	۱۵۶/۵	۱۱۴۳۲۶/۷	۴۱	۷/۵	۱۲۴۲۷۷/۱	۱۱۷۰۸۸/۴	۱۱۶۲۷۲/۵	۱۰		
۵/۰٪.	۹/۰۷٪.	۱۱۲۵۵	۱۷۳۷۲۹/۵	۱۰۰۰	۱۱/۵	۱۸۳۷۳۴/۶	۱	۱۱/۵	۱۸۳۷۳۴/۶	۱	۱۱/۵	۱۸۳۷۳۴/۶	۱۸۳۸۳۶/۱	۱۹۱۰۶۴/۲	۱		
۵/۳۶٪.	۱/۲۳٪.	۸۴۹۹	۱۸۱۲۱۳/۶	۱۰۰۰	۹	۱۸۶۲۵۱/۷	۱	۶۸/۵	۱۸۱۳۸۰/۳	۸	۹	۱۸۶۲۵۱/۷	۱۹۱۴۷۸/۵	۱۸۳۶۶۱/۳	۲		
۶/۱۶٪.	۲/۸۲٪.	۱۱۷۴۳/۵	۱۸۸۶۶۳/۸	۱۰۰۰	۱۲/۵	۱۹۳۸۱۹/۳	۱	۹۴/۵	۱۹۱۲۸۶	۸	۱۲/۵	۱۹۳۸۱۹/۳	۲۰۱۰۵۴/۱	۱۹۳۷۴۷/۲	۳		
۶/۰۹٪.	۲/۵۳٪.	۷۷۳۸/۵	۱۹۱۲۲۴/۱	۱۰۰۰	۷	۲۰۱۳۴۰/۵	۱	۲۴	۱۹۶۱۳۳/۹	۳	۷	۲۰۱۳۴۰/۵	۲۰۳۶۲۰/۷	۱۹۶۱۹۷	۴		
۵/۷۹٪.	۳/۵۴٪.	۸۷۳۶/۵	۲۰۳۶۷۹/۹	۱۰۰۰	۸/۵	۲۰۸۷۸۹	۱	۸/۵	۲۰۸۷۸۹	۱	۸/۵	۲۰۸۷۸۹	۲۱۶۱۹۶/۶	۲۱۱۱۵۱/۲	۵		
۵/۴۱٪.	۷/۷٪.	۷۲۵۸	۱۷۸۷۷۰/۹	۱۰۰۰	۶/۵	۱۸۳۷۲۲/۲	۱	۶/۵	۱۸۳۷۲۲/۲	۱	۶/۵	۱۸۳۷۲۲/۲	۱۸۸۹۸۶/۱	۱۹۳۶۷۸/۱	۶		
۶/۰۸٪.	۲/۵۴٪.	۹۲۹۵	۱۹۳۵۹۷/۵	۱۰۰۰	۹	۱۹۳۷۷۱/۲	۱	۹	۱۹۳۷۷۱/۲	۱	۹	۱۹۳۷۷۱/۲	۲۰۶۱۲۸/۶	۱۹۸۶۴۵/۴	۷		
۵/۵۱٪.	۵/۳۲٪.	۸۴۹۸	۱۶۹۱۰۳/۱	۱۰۰۰	۸/۵	۱۷۳۸۵۳/۱	۱	۸/۵	۱۷۳۸۵۳/۱	۱	۸/۵	۱۷۳۸۵۳/۱	۱۷۸۹۵۵/۹	۱۷۸۸۵۶/۴	۸		
۶/۰٪.	۱/۳٪.	۶۹۹۸	۱۸۸۶۷۰/۳	۱۰۰۰	۷	۱۹۱۲۸۰	۱	۵۶	۱۸۸۹۲۰/۳	۸	۷	۱۹۱۲۸۰	۲۰۱۱۳۲/۸	۱۹۱۱۵۳/۹	۹		
۵/۲۶٪.	۲/۶۵٪.	۶۲۵۰	۱۸۳۶۸۸/۹	۱۰۰۰	۵/۵	۱۸۸۶۹۲/۵	۱	۱۲	۱۸۸۶۹۲/۵	۲	۵/۵	۱۸۸۸۸۶۹/۳	۱۹۳۸۹۲/۳	۱۸۸۶۹۷/۷	۱۰		

نمونه‌ی ۸، الگوریتم ابتکاری جواب بهتری را نسبت به CPLEX در ۵ نمونه از ۱۰ نمونه و نسبت به برنامه‌ریزی موجود، در هر ۱۰ نمونه، جواب بهتری را تولید کرده است.

در نمونه‌های میدان ابودر، جواب‌های CPLEX و برنامه‌ریزی موجود به طور متوسط بترتیب به مقدار ۴/۶٪ و ۶/۰٪ بهبود یافته‌اند. الگوریتم ابتکاری جواب‌های بهتری را نسبت به CPLEX به طور میانگین بعد از ۳/۳۴ تکرار با زمان ۱۸/۱۷ ثانیه و نسبت به برنامه‌ریزی موجود به طور میانگین بعد از ۴/۳۴ تکرار با زمان ۹/۶۷ ثانیه دارد. همچنین الگوریتم ابتکاری در اولین تکرار، نسبت به CPLEX در ۴ نمونه از ۱۰ نمونه و نسبت به جواب‌های برنامه‌ریزی موجود، در ۵ نمونه از ۱۰ نمونه، جواب بهتری را تولید کرده است.

در نمونه‌های میدان درود، جواب‌های CPLEX و برنامه‌ریزی موجود به طور متوسط بترتیب به مقدار ۳/۸۶٪ و ۵/۷۳٪ بهبود یافته‌اند. الگوریتم ابتکاری جواب‌های بهتری را نسبت به CPLEX به طور میانگین بعد از ۳/۴ تکرار با زمان ۲۷/۸/۵ ثانیه دارد. همچنین الگوریتم ابتکاری در اولین تکرار با زمان ۲۷/۸/۵ ثانیه و نسبت به برنامه‌ریزی موجود به طور میانگین بعد از ۴/۲۸ ثانیه دارد. الگوریتم ابتکاری جواب‌های بهتری را نسبت به CPLEX به طور میانگین بعد از ۳/۳۴ تکرار با زمان ۲۷/۸/۵ ثانیه دارد. همچنین الگوریتم ابتکاری در اولین تکرار با زمان ۲۹/۹ ثانیه و نسبت به برنامه‌ریزی موجود به طور میانگین در اولین تکرار با زمان ۸/۵ ثانیه به دست می‌دهد. همچنین الگوریتم ابتکاری در اولین تکرار، نسبت به CPLEX در ۱۵/۶ ثانیه و نسبت به برنامه‌ریزی موجود به طور میانگین در اولین تکرار با زمان ۸/۵ ثانیه به دست می‌دهد. همچنین الگوریتم ابتکاری در اولین تکرار، نسبت به CPLEX در ۱۰/۱ ثانیه و نسبت به برنامه‌ریزی موجود به طور میانگین در اولین تکرار با زمان ۸/۵ ثانیه دارد.



شکل ۶. نمودار رفتار کلی الگوریتم ابتکاری.

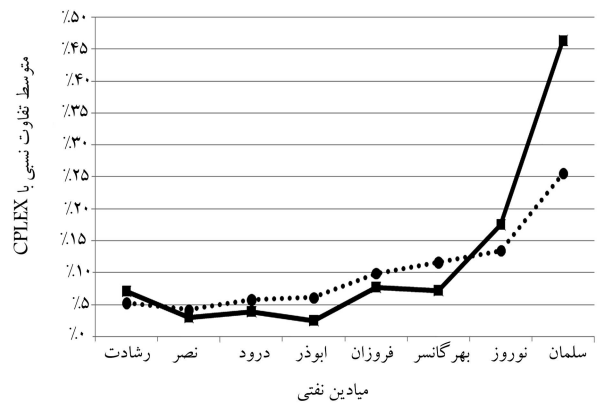
را تصدیق می‌کند، زیرا الگوریتم ابتکاری پس از ۱۰ تکرار اجرا جواب موجهی در ۹۵٪ موادر بهتر از جواب CPLEX و در ۹۸/۷۵٪ موادر بهتر از برنامه‌ریزی موجود ارائه می‌کند. بنا براین الگوریتم از نظر مدت زمان اجرا می‌تواند سریع ارزیابی شود؛ زیرا برای دست‌یابی به یک جواب موجه خیلی خوب، کافی است تا الگوریتم در تعداد تکرارهای کمی اجرا شود؛ هرچند که اجرای الگوریتم در تعداد تکرارهای بیشتر منجر به جواب‌های بهتری خواهد شد.

۶. نتیجه‌گیری

در این مقاله، مسئله‌ی مسیریابی دوری‌ی شناورهای خدماتی با پنجره‌ی زمانی در صنعت نفت دریابی با رویکرد نگهداشت تولید نفت در مناطق دریابی با عاملیت شرکت ملی نفت ایران در خلیج فارس معروفی شد. این مسئله ضمن این‌که به لحاظ پیشینه‌ی موضوع به مسئله‌ی شناخته شده PVRPTW نزدیک است، دارای یک مشخصه‌ی عملیاتی جدیدی است که در پژوهش‌های پیشین بدان پرداخته نشده و آن مشخصه عبارت است از این‌که برخی از این شناورهای خدماتی دارای ماهیت دوگانه‌ی خدمت‌رسان - خدمت‌گیرنده هستند. در واقع شناورهای سرچاهی متحرك از یک طرف نیازمند دریافت خدمات عمومی از شناورهای پشتیبان در پنجره‌های زمانی و از طرف دیگر مأمور به ارائه خدمات چاهه‌ای به سکوهای سرچاهی‌اند.

ابتدا یک مدل برنامه‌ریزی عدد صحیح آمیخته با در نظر گرفتن فرضیات عملیاتی مورد نظر این مقاله توسعه داده شد. سپس به دلیل پیچیدگی مسئله و عدم امکان دست‌یابی به جواب‌های بهینه توسعه الگوریتم‌های دقیق و همچنین به منظور بهبود روش‌های حل تجربی و غیرنظاممند موجود، یک الگوریتم ابتکاری چاپک و با حافظه‌ی عملیاتی دقیق با قابلیت ثبت و ضبط کلیه‌ی وقایع، برای حل این مسئله، به طوری‌که از لحاظ سرعت عمل و کیفیت جواب الگوریتم‌های موجود را بهبود بخشد، ارائه شد.

به منظور ارزیابی الگوریتم ابتکاری، نتایج حاصل از اعمال الگوریتم ابتکاری روی ۸۰ نمونه مسئله واقعی مربوط به ۸ میدان نفتی مستقر در خلیج فارس، با نتایج حل کننده CPLEX و برنامه‌ریزی موجود مقایسه شد و مشخص شد که برای هر یک از نمونه مسائل، جواب حاصل از الگوریتم ابتکاری جواب دو الگوریتم دیگر را در شرایط اجرایی مساوی بهبود می‌دهد. برای مثال، در بخش مقایسه با CPLEX، در میان تمام نمونه‌ها، کمترین بهبود در جواب مربوط به نمونه‌ی پنجم میدان ابودر با میزان ۳/۰۳٪ و بیشترین بهبود در جواب مربوط به نمونه‌ی سوم میدان سلمان با میزان ۴۷/۴۹٪ به دست آمد. همچنین در بخش مقایسه با نتایج برنامه‌ریزی موجود، کمترین بهبود به نمونه‌ی دوم میدان نصر با میزان ۲۹/۳٪ و بیشترین بهبود



متوسط تفاوت نسبی با برنامه‌ریزی موجود ۰•۰ متوسط تفاوت نسبی با CPLEX

شکل ۵. نمودار مقادیر متوسط تفاوت نسبی بین جواب الگوریتم ابتکاری و جواب‌های CPLEX و برنامه‌ریزی موجود.

۱۳/۹۵ ثانیه به دست می‌دهد. همچنین الگوریتم ابتکاری در اولین تکرار، نسبت به نمونه از ۱۰ نمونه و نسبت به برنامه‌ریزی موجود، در ۱۰ نمونه، جواب بهتری را تولید کرده است.

در نمونه‌های میدان بهرگانسر، جواب‌های CPLEX و برنامه‌ریزی موجود به طور متوسط به ترتیب به مقدار ۱۱/۱۵٪ و ۱۱/۵۶٪ بهبود یافته‌اند. الگوریتم ابتکاری جواب‌های بهتری را نسبت به CPLEX و برنامه‌ریزی موجود به طور میانگین در اولین تکرار با زمان ۱۶/۲ ثانیه به دست می‌دهد.

در نمونه‌های میدان نوروز، جواب‌های CPLEX و برنامه‌ریزی موجود به طور متوسط به ترتیب به مقدار ۱۷/۴۹٪ و ۱۳/۳۹٪ بهبود یافته‌اند. الگوریتم ابتکاری جواب‌های بهتری را نسبت به CPLEX و برنامه‌ریزی موجود به طور میانگین در اولین تکرار با زمان ۱۷/۷ ثانیه به دست می‌دهد.

در نمونه‌های میدان سلمان، جواب‌های CPLEX و برنامه‌ریزی موجود به طور متوسط به ترتیب به مقدار ۲۵/۴۹٪ و ۲۵/۴۶٪ بهبود یافته‌اند. الگوریتم ابتکاری جواب‌های بهتری را نسبت به CPLEX و برنامه‌ریزی موجود به طور میانگین در اولین تکرار با زمان ۵۰/۸۵ ثانیه به دست می‌دهد.

شکل ۵ نمودار مقادیر متوسط تفاوت نسبی بین جواب الگوریتم ابتکاری و به ترتیب جواب‌های CPLEX و برنامه‌ریزی موجود را نسبت به میدان‌های نفتی با اندازه نمونه‌های مختلف نشان می‌دهد که در آن با افزایش تعداد سکوهای سرچاهی در میدان‌ها، متوسط تفاوت نسبی بیشتر می‌شود. برای مثال برای میدان رشادت با ۷ سکوی سرچاهی، متوسط صرفه‌جویی در هزینه‌ها در جواب‌های الگوریتم ابتکاری نسبت به CPLEX و برنامه‌ریزی موجود به ترتیب برای رشادت ۴۶/۳۵٪ و ۴۶/۴۹٪ هستند، در حالی که برای میدان سلمان با ۲۸ سکوی سرچاهی، مقادیر مربوطه به ترتیب به ۴۶/۴۹٪ و ۴۶/۳۵٪ افزایش یافته‌اند. بنابراین انتظار داریم که اعمال الگوریتم ابتکاری برای نمونه‌های با اندازه‌ی بزرگ‌تر صرفه‌جویی بیشتری در هزینه‌ها نسبت به دو الگوریتم دیگر فراهم کند.

اگر برای هر یک از نمونه‌ها، نموداری رسم کنیم که در محور عمودی آن بهترین جواب به دست آمده توسعه الگوریتم ابتکاری در خلال تکرارهای مختلف و در محور افقی آن شماره‌ی تکرار الگوریتم باشد، آنگاه به طور متوسط، شکل ۶ نمایانگر رفتار کلی تمام آن نمودارها برای نمونه‌های مذکور خواهد بود. همان‌گونه که در این نمودار مشاهده می‌شود، الگوریتم ابتکاری در تکرارهای اولیه با شبیه تندی جواب‌های موجه تولید شده را بهبود می‌بخشد. نتایج محاسباتی مندرج در جدول ۲ این موضوع

به سکوهای سرچاهی در بستر دریا صورت می‌گیرد، پیشنهاد می‌شود جنبه‌ی تغییرات آب‌وهوایی و تأثیر آن به صورت مؤلفه‌های احتمالی در زمان‌های سفر و خدمت‌رسانی، به عنوان یکی از زمینه‌های تحقیقات آتی در جهت توسعه و تکمیل مدل این مقاله مدنظر قرار گیرد. دوم، با در نظر گرفتن عوامل عملیاتی پیشتر در مسائل، ضمن پیچیده‌تر کردن مدل‌های ریاضی به دلیل بزرگ‌تر شدن ابعاد مسئله، نیازمند آن خواهیم بود تا الگوریتم‌های حل جدیدی را که می‌توانند در ادامه‌ی الگوریتم ابتکاری این مقاله باشند، توسعه دهیم، به دلیل پیچیدگی‌های موجود در فرایند بهینه‌سازی مسئله‌ی مدنظر این تحقیق و فقدان مطالعات مشابه، در وهله‌ی نخست از روش‌های حل فراابتکاری استفاده نشد و ابتدا یک الگوریتم ابتکاری پایه مبتنی بر مفهوم ترکیب پایه‌ی اولیه و بر اساس شرایط عملیاتی مسئله به‌منظور حل مسئله معرفی شده است؛ اما می‌توان به عنوان ایده‌بی برای توسعه‌ی روش‌های حل برای مسئله مدنظر این مقاله در تحقیقات آتی بدان توجه کرد. برای مثال الگوریتم ابتکاری موجود این قابلیت را دارد که با الگوریتم جستجوی منوع یا دیگر الگوریتم‌های مبتنی بر جمعیت مثل الگوریتم ژنتیک ترکیب شود و با تشکیل یک الگوریتم ترکیبی جدید، ضمن بررسی نقاط قوت و ضعف الگوریتم ابتکاری این مقاله، جواب‌های با کفیت‌تری ارائه شود. سوم، به دلیل پیچیدگی و ابعاد بزرگ مدل‌های ریاضی ارائه شده، توسعه‌ی حدود پایین مناسب که منبع از این مدل‌های ریاضی باشند، می‌تواند به عنوان گزینه‌ی سوم توسعه‌ی موضوع این مقاله در نظر گرفته شود.

به نمونه‌ی سوم میدان سلمان با میران ۷۸/۲۶٪ حاصل شد. همچنین نتایج عددی حاکی از این بود که الگوریتم ابتکاری در تولید جواب‌های باکیفیت دارای سرعت عمل زیادی است به‌گونه‌ی که در همان تکرارهای اولیه جواب‌های بسیار خوبی به دست می‌دهد. بنابراین می‌توان با صرف زمان کوتاهی در مقایسه با دو الگوریتم دیگر و با تعداد تکرارهای کمتر، جواب‌های مناسبی به دست آورد.

به طور کلی سه زمینه‌ی توسعه‌ی در ادامه‌ی موضوع مدنظر این مقاله قرار دارد. اول، در بسیاری از نمونه مسائل واقعی دیگری که در حوزه‌ی عملیاتی فراساحلی نفت و گاز در بخش برنامه‌ریزی حمل و نقل وجود دارد، مشخصه‌ها و عامل‌های عملیاتی پیچیده‌ی دیگری نیز وجود دارند که می‌توانند مورد مطالعه قرار بگیرند و مدل ریاضی این مقاله را اصلاح و تکمیل کنند. در این مقاله، مسئله‌ی مسیریابی دوره‌ی شناورهای خدمتی با پنجره‌ی زمانی در صنعت نفت دریایی تحت شرایط آب‌وهوایی خلیج فارس مدل‌سازی شده است. خلیج فارس در مقایسه با دریاها و اقیانوس‌های عمیق، جزء آب‌های کم عمق محسوب می‌شود و به دلیل اتصال سکوهای سرچاهی به کف دریا (برخلاف سکوهای نفتی شناور در آب‌های عمیق) و پیش‌بینی‌های دقیق هواشناسی از شرایط آب و هوایی، عدم قطعیت‌ها در زمینه‌ی زمان ارائه‌ی خدمت و سفر شناورهای خدمتی برای افق برنامه‌ریزی پیش رو قابل چشم‌پوشی است. اما ازان‌جا که مسئله‌ی پیش روی این مقاله، به ندرت مورد تحقیق قرار گرفته و یک زمینه‌ی بسیار مستعد برای انجام تحقیقات آتی است، از زوایای مختلف قابل ادامه و تکمیل است. نظر به این که، خدمت‌رسانی

منابع (References)

- Francis, P., Smilowitz, K. and Tzur, M. "The period vehicle routing problem and its extensions", In The vehicle routing problem: latest advances and new challenges, B. Golden, S. Raghavan and E. Wasil, Ed., 43, pp. 73-102, Springer, New York (2008).
- Beltrami, E. and Bodin, L. "Networks and vehicle routing for municipal waste collection", *Networks*, **4**(1), pp. 65-94 (1974).
- Bommissetty, D., Dessouky, M. and Jacobs, L. "Scheduling collection of recyclable material at northern Illinois university campus using a two-phase algorithm", *Comput. Ind. Eng.*, **35**(3-4), pp. 435-438 (1998).
- Baptista, S., Oliveira, R.C. and Zuquete, E. "A period vehicle routing case study", *Eur. J. Oper. Res.*, **139**(2), pp. 220-229 (2002).
- Teixeira, J., Antunes, A.P. and Pinho de Sousa, J. "Recyclable waste collection planning. a case study", *Eur. J. Oper. Res.*, **158**(3), pp. 543-554 (2004).
- Cho, B.M. and Lee, D.H. "A heuristic algorithm for the period vehicle routing problem: minimizing the fleet size", *Proceedings of the 7th Asia Pacific Industrial Engineering and Management Systems Conference* (2006).
- Butler, M., Williams, H.P. and Yarrow, L.A. "The 2-period travelling salesman problem applied to milk collection in Ireland", *Comput. Optim. Appl.*, **7**(3), pp. 291-306 (1997).
- Claassen, G.D.H. and Hendriks, T.H.B. "An application of special ordered sets to a periodic milk collection problem", *Eur. J. Oper. Res.*, **180**(2), pp. 754-769 (2007).
- Alshamrania, A., Mathur, K. and Ballou, R.H. "Reverse logistics: simultaneous design of delivery routes and returns strategies", *Comput. Oper. Res.*, **34**(2), pp. 595-619 (2007).
- Zapfel, G. and Bogl, M. "Multi-period vehicle routing and crew scheduling with outsourcing options", *Int. J. Production Economics*, **113**(2), pp. 980-996 (2008).
- Rusdiansyah, A. and Tsao, D. "An integrated model of the periodic delivery problems for vending-machine supply chains", *J. Food Eng.*, **70**(3), pp. 421-434 (2005).
- Maya, P., Sorensen, K. and Goos, P. "A metaheuristic for a teaching assistant assignment-routing problem", *Comput. Oper. Res.*, **39**(2), pp. 249-258 (2011).
- Hassannayebi, E., Zegordi, S.H. and Yaghini, M. "Train timetabling in urban rail transit line using lagrangian relaxation approach", *Appl. Math. Model.*, **40**(23-24), pp. 9892-9913 (2016).
- Blakeley, F., Arguello, B., Cao, B. and et al. "Optimizing periodic maintenance operations for Schindler elevator corporation", *Interfaces*, **33**(1), pp. 67-79 (2003).
- Cornillier, F., Boctor, F.F., Laporte, G. and et al. "A heuristic for the multi-period petrol station replenish-

- ment problem”, *Eur. J. Oper. Res.*, **191**(2), pp. 295-305 (2008).
16. Ngueveu, S.U., Prins, C. and Calvo, R.W. “Lower and upper bounds for the m-peripatetic vehicle routing problem”, *4OR-Q. J. Oper. Res.*, **8**(4), pp. 387-406 (2010).
 17. Lin, Y.H., Batta, R., Rogerson, P.A. and et al. “A logistics model for emergency supply of critical items in the aftermath of a disaster”, *Socio Econ. Plan. Sci.*, **45**(4), pp. 132-145 (2011).
 18. Sopot, E. and Gribkovskaia, I. “Routing of supply vessels to with deliveries and pickups of multiple commodities”, *Procedia Comput. Sci.*, **31**, pp. 910-917 (2014).
 19. Maisiuk, Y. and Gribkovskaia, I. “Fleet sizing for offshore supply vessels with stochastic sailing and service times”, *Procedia Comput. Sci.*, **31**, pp. 939-948 (2014).
 20. Cuesta, E.F., Andersson, H., Fagerholt, K. and et al. “Vessel routing with pickups and deliveries: an application to the supply of offshore oil platforms”, *Comput Oper. Res.*, **79**, pp. 140-147 (2016).
 21. Halvorsen-Wearea, E.E., Gundegjerde, C., Halvorsen, I.B. and et al. “Vessel fleet analysis for maintenance operations at offshore wind farms”, *Enrgy. Proced.*, **35**, pp. 167-176 (2013).
 22. Halvorsen-Weare, E.E., Fagerholt, K., Nonas, L.M. and et al. “Optimal fleet composition and periodic routing of offshore supply vessels”, *Eur. J. Oper. Res.*, **223**(2), pp. 508-517 (2012).
 23. Halskau, y. “Offshore helicopter routing in a hub and spoke fashon: minimizing expected number of fatalities”, *Procedia Comput. Sci.*, **31**, pp. 1124-1132 (2014).
 24. Hermeto, I.d.S., Filho, I.J.M. and Bahiense, L. “Logistics network planning for offshore air transport of oil rig crews”, *Comput. Ind. Eng.*, **75**, pp. 41-54 (2014).
 25. Alvarenga Rosa, R.d., Machado, A.M., Ribeiro, G.M. and et al. “A mathematical model and a Clustering Search metaheuristic for planning the helicopter transportation of employees to the production platforms of oil and gas”, *Comput. Ind. Eng.*, **101**, pp. 303-312 (2016).
 26. Abbasi-Pooya, A. and Husseinzadeh Kashan, A. “New mathematical models and a hybrid grouping evolution strategy algorithm for optimal helicopter routing and crew pickup and delivery”, *Comput. Ind. Eng.*, **112**, pp. 35-56 (2017).
 27. Astoures, H.F., Alvarenga Rosa, R. and Silva Rosa, A.L. “Planning the diesel supply for offshore platforms by a mathematical model based on the vehicle routing problem with replenishment”, *Transp. Res. Proc.*, **18**, pp. 11-18 (2016).
 28. Irawan, C.A., Ouelhadj, D., Jones, D. and et al. “Optimisation of maintenance routing and scheduling for offshore wind farms”, *Eur. J. Oper. Res.*, **256**(1), pp. 76-89 (2017).
 29. Eshraghniaye Jahromi, A. and Ighani Yazdeli, R. “A mixed integer programming model for periodic routing of special vessels in offshore oil industry”, *Int. J. Ind. Eng.-Theory*, **22**(5), pp. 524-548 (2015).
 30. Lenstra, J.K. and Rinnooy Kan, A.H.G. “Complexity of vehicle routing problem with time windows”, *Networks*, **11**, pp. 221-227 (1981).